

Synthèse de code avec compromis entre performance et précision

en arithmétique flottante IEEE 754

Laurent THÉVENOUX

Membres du jury :

Philippe LANGLOIS et Matthieu MARTEL (directeurs)
Jean-Marie CHESNEAUX et Sylvie PUTOT (rapporteurs)
Jean-Michel MULLER (examineur)



Équipe-projet DALI, Univ. Perpignan Via Domitia. LIRMM, CNRS: UMR 5506 - Univ. Montpellier 2

Deux des préoccupations majeures de l'informatique

Précision



*données
modèle
calculs*

Performance



*taille du code
consommation
vitesse/temps d'exécution*

Deux des préoccupations majeures de l'informatique

Précision



**PRÉCISION
NUMÉRIQUE**

*données
modèle
calculs*

Performance



**VITESSE
D'EXÉCUTION**

*taille du code
consommation
vitesse/temps d'exécution*

Deux des préoccupations majeures de l'informatique

Précision



**PRÉCISION
NUMÉRIQUE**

*données
modèle
calculs*

Performance



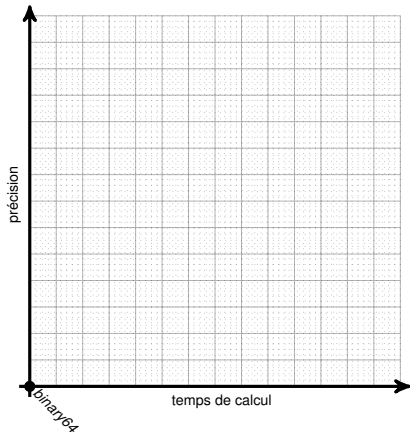
**VITESSE
D'EXÉCUTION**

*taille du code
consommation
vitesse/temps d'exécution*

Critiques dans de nombreux systèmes



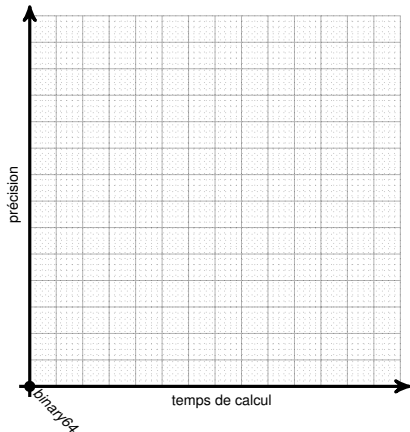
Les relations entre le temps et la précision



Améliorer la précision

- Motivation : certains résultats imprécis
 - ▶ Ariane 5, Patriot

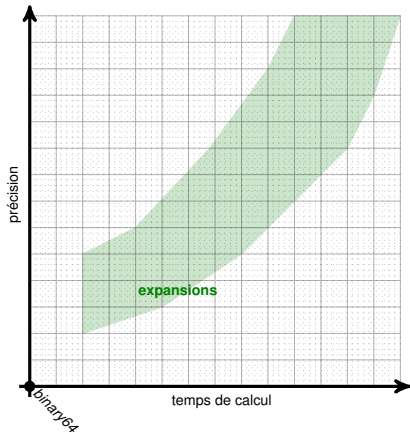
Les relations entre le temps et la précision



Améliorer la précision

- Motivation : certains résultats imprécis
 - ▶ Ariane 5, Patriot
- Précision étendue :

Les relations entre le temps et la précision

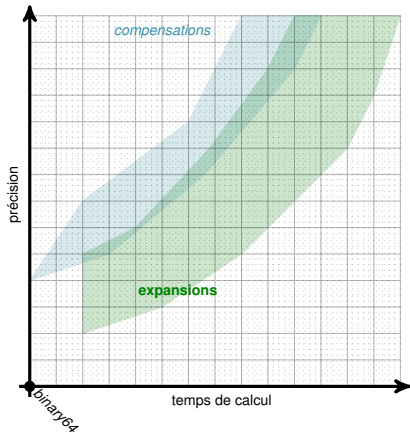


Améliorer la précision

- Motivation : certains résultats imprécis
 - ▶ Ariane 5, Patriot
- Précision étendue :
 - ▶ expansions

[She97, HBL01]

Les relations entre le temps et la précision

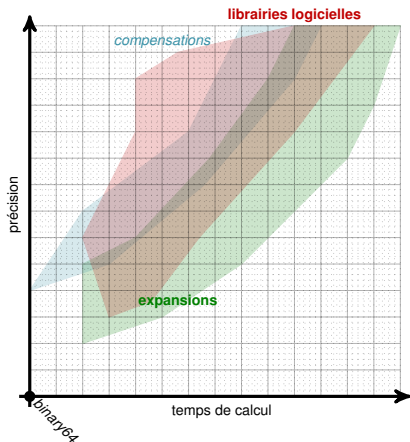


Améliorer la précision

- Motivation : certains résultats imprécis
 - ▶ Ariane 5, Patriot
- Précision étendue :
 - ▶ expansions
 - ▶ compensations

[She97, HBL01]
[ROO05, GLL09]

Les relations entre le temps et la précision

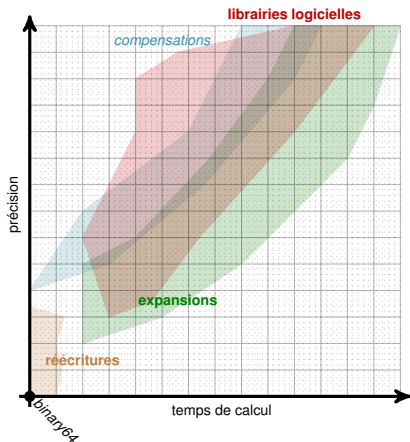


Améliorer la précision

- Motivation : certains résultats imprécis
 - ▶ Ariane 5, Patriot
- Précision étendue :
 - ▶ **expansions**
 - ▶ **compensations**
 - ▶ **bibliothèques logicielles**

[She97, HBL01]
 [ROO05, GLL09]
 [MPFR]

Les relations entre le temps et la précision

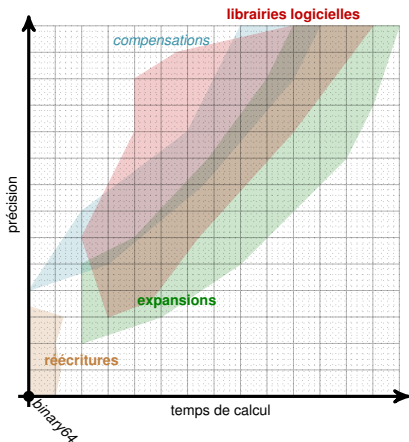


Améliorer la précision

- Motivation : certains résultats imprécis
 - ▶ Ariane 5, Patriot
- Précision étendue :
 - ▶ expansions
 - ▶ compensations
 - ▶ librairies logicielles
 - ▶ réécritures

[She97, HBL01]
 [ROO05, GLL09]
 [MPFR]
 [Iou13]

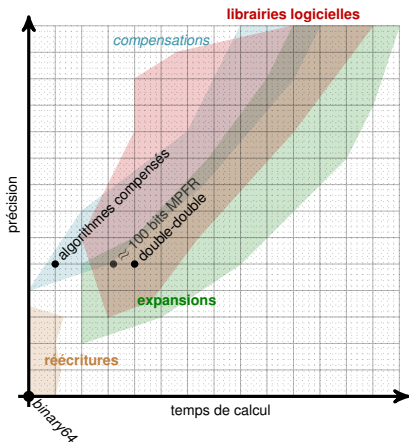
Les relations entre le temps et la précision



Améliorer la précision

- Motivation : certains résultats imprécis
 - ▶ Ariane 5, Patriot
- Précision étendue :
 - ▶ **expansions** [She97, HBL01]
 - ▶ *compensations* [ROO05, GLL09]
 - ▶ **bibliothèques logicielles** [MPFR]
 - ▶ **réécritures** [Iou13]
- Distinguer le **générique** du *spécifique*

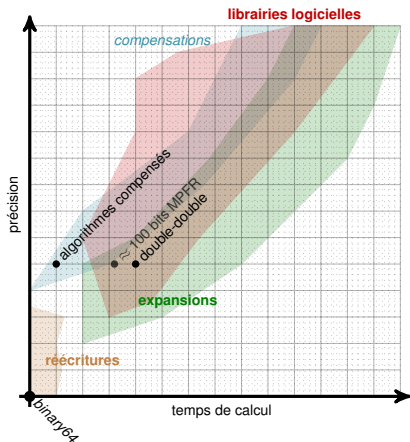
Les relations entre le temps et la précision



Améliorer la précision

- Motivation : certains résultats imprécis
 - ▶ Ariane 5, Patriot
- Précision étendue :
 - ▶ **expansions** [She97, HBL01]
 - ▶ *compensations* [ROO05, GLL09]
 - ▶ **bibliothèques logicielles** [MPFR]
 - ▶ **réécritures** [Iou13]
- Distinguer le **générique** du *spécifique*
- Précision arbitraire : doublement
 - ▶ double-double
 - ▶ algorithmes compensés

Les relations entre le temps et la précision



Améliorer la précision

- Motivation : certains résultats imprécis
 - ▶ Ariane 5, Patriot
- Précision étendue :
 - ▶ **expansions** [She97, HBL01]
 - ▶ *compensations* [ROO05, GLL09]
 - ▶ **bibliothèques logicielles** [MPFR]
 - ▶ **réécritures** [Iou13]
- Distinguer le **générique** du *spécifique*
- Précision arbitraire : doublement
 - ▶ double-double
 - ▶ algorithmes compensés
- Difficulté supplémentaire : le temps et la précision ont tendance à s'opposer

Vue d'ensemble des travaux de la thèse

Soit la problématique :

1. **Améliorer** la précision
2. En **réduisant la dégradation** de la **performance**
3. Avec de plus l'objectif : processus **automatique**

Vue d'ensemble des travaux de la thèse

Soit la problématique :

1. **Améliorer** la précision
2. En **réduisant la dégradation** de la **performance**
3. Avec de plus l'objectif : processus **automatique**

Aujourd'hui il est facile de doubler la précision presque automatiquement

Peut-on faire plus **efficace** et aussi **précis** ?

Allons plus loin, peut-on être encore plus **efficace** quitte à sacrifier une partie de la **précision** ?

Vue d'ensemble des travaux de la thèse

Soit la problématique :

1. **Améliorer** la précision
Transformation à base d'EFT (à l'image de la compensation)
2. En **réduisant la dégradation** de la **performance**
Des stratégies de transformation avec compromis
3. Avec de plus l'objectif : processus **automatique**
Synthèse de code

Aujourd'hui il est facile de doubler la précision presque automatiquement

Peut-on faire plus **efficace** et aussi **précis** ?

Allons plus loin, peut-on être encore plus **efficace** quitte à sacrifier une partie de la **précision** ?

Plan de l'exposé

1. Notions d'arithmétique flottante et d'amélioration de la précision

- Arithmétique flottante IEEE 754
- Transformations sans erreur
- Arithmétique double-double et algorithmes compensés

2. Transformation automatique de programme

- Mise en place : l'outil CoHD
- Méthodologie : correction de la précision
- Les transformations de la somme et du produit
- Résultats expérimentaux avec comparaisons à l'existant

3. Synthèse de code pour des compromis entre précision et temps d'exécution

- Mise en place : l'outil SyHD
- Des stratégies de transformation de programme avec compromis
- Ensemble de programme et critères de sélection
- Résultats expérimentaux

4. Conclusions et perspectives

Plan de l'exposé

1. Notions d'arithmétique flottante et d'amélioration de la précision

- Arithmétique flottante IEEE 754
- Transformations sans erreur
- Arithmétique double-double et algorithmes compensés

2. Transformation automatique de programme

- Mise en place : l'outil CoHD
- Méthodologie : correction de la précision
- Les transformations de la somme et du produit
- Résultats expérimentaux avec comparaisons à l'existant

3. Synthèse de code pour des compromis entre précision et temps d'exécution

- Mise en place : l'outil SyHD
- Des stratégies de transformation de programme avec compromis
- Ensemble de programme et critères de sélection
- Résultats expérimentaux

4. Conclusions et perspectives

Arithmétique flottante IEEE 754

Permet la représentation des nombres réels en machine [IEEE754]

- Ou plutôt leurs approximations : impossible de les représenter exactement en machine
- Un standard qui définit :

une représentation $(-1)^s \times m \times 2^e$

des arrondis au plus près (RN), vers 0 (RZ), $+\infty$ (RU), $-\infty$ (RD)

des formats *binary32*, *binary64*, etc

Blocs de base : les transformations sans erreur (EFT)

Définition [MBdD10]

Soit $\circ \in \{+, -, \times\}$, si $x = RN(a \circ b)$, alors l'**erreur** de l'opération flottante $y = (a \circ b) - x$ **est un flottant**

Blocs de base : les transformations sans erreur (EFT)

Définition [MBdD10]

Soit $\circ \in \{+, -, \times\}$, si $x = RN(a \circ b)$, alors l'**erreur** de l'opération flottante $y = (a \circ b) - x$ **est un flottant**

Comment calculer y avec les opérations de l'arithmétique flottante ?

Blocs de base : les transformations sans erreur (EFT)

Définition [MBdD10]

Soit $\circ \in \{+, -, \times\}$, si $x = RN(a \circ b)$, alors l'**erreur** de l'opération flottante $y = (a \circ b) - x$ **est un flottant**

Comment calculer y avec les opérations de l'arithmétique flottante : les EFT

Blocs de base : les transformations sans erreur (EFT)

Définition [MBdD10]

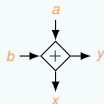
Soit $\circ \in \{+, -, \times\}$, si $x = RN(a \circ b)$, alors l'**erreur** de l'opération flottante $y = (a \circ b) - x$ **est un flottant**

Comment calculer y avec les opérations de l'arithmétique flottante : les EFT

La somme

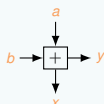
```

function FASTTWOSUM(a,b) ▷ [DEKKER, 71]
  x ← RN(a + b)           ▷ |a| ≥ |b|
  y ← RN((a - x) + b)
  return (x, y)
end function
  
```



```

function TWOSUM(a,b) ▷ [KNUTH, 69]
  x ← RN(a + b)
  z ← RN(x - a)
  y ← RN((a - (x - z)) + (b - z))
  return (x, y)
end function
  
```



	<i>flop</i>	Latence
FASTTWO SUM	3	3
TWOSUM	6	5

Blocs de base : les transformations sans erreur (EFT)

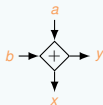
Définition [MBdD10]

Soit $\circ \in \{+, -, \times\}$, si $x = RN(a \circ b)$, alors l'**erreur** de l'opération flottante $y = (a \circ b) - x$ **est un flottant**

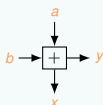
Comment calculer y avec les opérations de l'arithmétique flottante : les EFT

La somme

```
function FASTTWO SUM(a, b) ▷ [DEKKER, 71]
  x ← RN(a + b)                ▷ |a| ≥ |b|
  y ← RN((a - x) + b)
  return (x, y)
end function
```



```
function TWOSUM(a, b) ▷ [KNUTH, 69]
  x ← RN(a + b)
  z ← RN(x - a)
  y ← RN((a - (x - z)) + (b - z))
  return (x, y)
end function
```

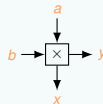


	flop	Latence
FASTTWO SUM	3	3
TWOSUM	6	5

Le produit

```
function TWO PRODUCT(a, b) ▷ [DEKKER, 71]
  x ← RN(a × b)
  [aH, aL] = SPLIT(a)
  [bH, bL] = SPLIT(b)
  y ← RN(aL × bL - (((x - aH × bH) - aL × bH) - aH × bL))
  return (x, y)
end function
```

```
function SPLIT(a) ▷ [VELTKAMP, 68]
  c ← RN(f × a) ▷ f = 2[p/2] + 1
  aH ← RN(c - (c - a))
  aL ← RN(a - aH)
  return (aH, aL)
end function
```



	flop	Latence
TWO PRODUCT	17	8
TWO PRODUCT FMA	2	2

Arithmétique *double-double* et algorithmes compensés 1/2

Deux méthodes à base d'EFT pour améliorer la précision

- arithmétique *double-double* : DEKKER en 1971 avec la somme et le produit [Dek71]
- algorithmes compensés : années 2000 par RUMP, LOUVET, etc [ROO05, Lou07]

Arithmétique *double-double* et algorithmes compensés 1/2

Deux méthodes à base d'EFT pour améliorer la précision

- arithmétique *double-double* : DEKKER en 1971 avec la somme et le produit [Dek71]
- algorithmes compensés : années 2000 par RUMP, LOUVET, etc [ROO05, Lou07]

double-double (DD)

- ► DEKKER, 1971
- BAILEY et al. (QD Lib), 2000
- SAITO, 2010 (Scilab Toolbox : QuPAT)
- Générique, algorithmes à appliquer sur chaque opération élémentaire
- Application presque automatique : surcharge

Arithmétique *double-double* et algorithmes compensés 1/2

Deux méthodes à base d'EFT pour améliorer la précision

- arithmétique *double-double* : DEKKER en 1971 avec la somme et le produit [Dek71]
- algorithmes compensés : années 2000 par RUMP, LOUVET, etc [ROO05, Lou07]

double-double (DD)

- ► DEKKER, 1971
- BAILEY et al. (QD Lib), 2000
- SAITO, 2010 (Scilab Toolbox : QuPAT)
- Générique, algorithmes à appliquer sur chaque opération élémentaire
- Application presque automatique : surcharge

algorithmes compensés

- ► RUMP et al. (SUM2, DOT2), 2005
- LOUVET (COMPHORNER), 2007
- GRAILLAT et al. (COMPHORNERDER), 2013
- Spécifique, travail d'expert : une thèse ou article par algorithme
- Aujourd'hui : somme, produit scalaire, évaluations polynômiales

Arithmétique *double-double* et algorithmes compensés 1/2

Deux méthodes à base d'EFT pour améliorer la précision

- arithmétique *double-double* : DEKKER en 1971 avec la somme et le produit [Dek71]
- algorithmes compensés : années 2000 par RUMP, LOUVET, etc [ROO05, Lou07]

double-double (DD)

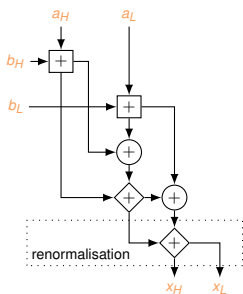
- ► DEKKER, 1971
- BAILEY et al. (QD Lib), 2000
- SAITO, 2010 (Scilab Toolbox : QuPAT)
- Générique, algorithmes à appliquer sur chaque opération élémentaire
- Application presque automatique : surcharge

algorithmes compensés

- ► RUMP et al. (SUM2, DOT2), 2005
- LOUVET (COMPHORNER), 2007
- GRAILLAT et al. (COMPHORNERDER), 2013
- Spécifique, travail d'expert : une thèse ou article par algorithme
- Aujourd'hui : somme, produit scalaire, évaluations polynômiales

double-double générique **mais** très fort impact sur le temps de calcul

algo. compensés permet de meilleurs performances : un parallélisme d'instruction (ILP) exploité facilement par le processeur [LL07] **mais** très spécifique

Des opérateurs *double-double* : QDLib [HBL01]

```
function QD_TwoSum(aH, aL, bH, bL)
```

```
  [rH, rL] = TWOSUM(aH, bH)
```

```
  [sH, sL] = TWOSUM(aL, bL)
```

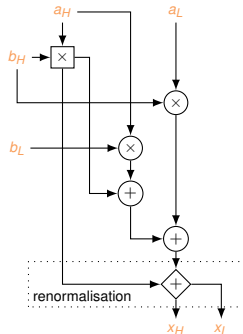
```
  c ← RN(rL + sH)
```

```
  [uH, uL] = FASTTWOSUM(rH, c)
```

```
  w ← RN(sL + uL)
```

```
  return [xH, xL] = FASTTWOSUM(uH, w)
```

```
end function
```



```
function QD_TwoProduct(aH, aL, bH, bL)
```

```
  [rH, rL] = TWOPRODUCT(aH, bH)
```

```
  rL ← RN(rL + (aH × bL))
```

```
  rL ← RN(rL + (aL × bH))
```

```
  return [xH, xL] = FASTTWOSUM(rH, rL)
```

```
end function
```

	flop	Latence
QD_TwoSum	20	13
QD_TwoProduct	24	13

Arithmétique *double-double* et algorithmes compensés 2/2

```

function SUM( $a_1, a_2, \dots, a_n$ )
  for  $i = 2 : n$  do
     $s \leftarrow RN(s + a_i)$ 
  end for
  return  $s$ 
end function

```

```

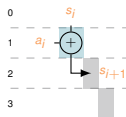
function SUMDD( $a_1, a_2, \dots, a_n$ )
   $s_H \leftarrow a_1$ 
   $s_L \leftarrow 0$ 
  for  $i = 2 : n$  do
     $[s_H, s_L] = QD\_TWO\SUM(s_H, s_L, a_i, \emptyset)$ 
  end for
  return  $s_H$ 
end function

```

```

function SUM2( $a_1, a_2, \dots, a_n$ )
   $s \leftarrow a_1$ 
   $e \leftarrow 0$ 
  for  $i = 2 : n$  do
     $[s, e] = TWO\SUM(s, a_i)$ 
     $e \leftarrow RN(e + \epsilon)$ 
  end for
  return  $RN(s + e)$ 
end function

```



SUM

Arithmétique *double-double* et algorithmes compensés 2/2

```

function SUM( $a_1, a_2, \dots, a_n$ )
  for  $i = 2 : n$  do
     $s \leftarrow RN(s + a_i)$ 
  end for
  return  $s$ 
end function

```

```

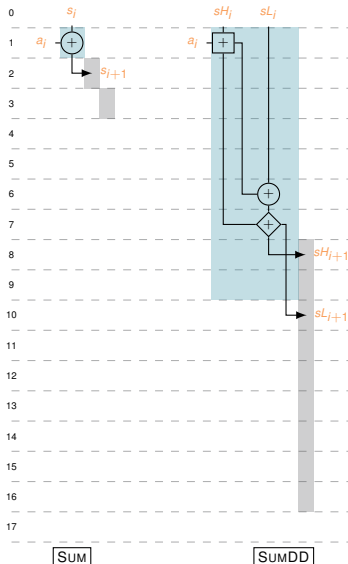
function SUMDD( $a_1, a_2, \dots, a_n$ )
   $s_H \leftarrow a_1$ 
   $s_L \leftarrow 0$ 
  for  $i = 2 : n$  do
     $[s_H, s_L] = QD\_TWO\SUM(s_H, s_L, a_i, \emptyset)$ 
  end for
  return  $s_H$ 
end function

```

```

function SUM2( $a_1, a_2, \dots, a_n$ )
   $s \leftarrow a_1$ 
   $e \leftarrow 0$ 
  for  $i = 2 : n$  do
     $[s, e] = TWO\SUM(s, a_i)$ 
     $e \leftarrow RN(e + \epsilon)$ 
  end for
  return  $RN(s + e)$ 
end function

```



Arithmétique *double-double* et algorithmes compensés 2/2

```

function SUM( $a_1, a_2, \dots, a_n$ )
  for  $i = 2 : n$  do
     $s \leftarrow RN(s + a_i)$ 
  end for
  return  $s$ 
end function

```

```

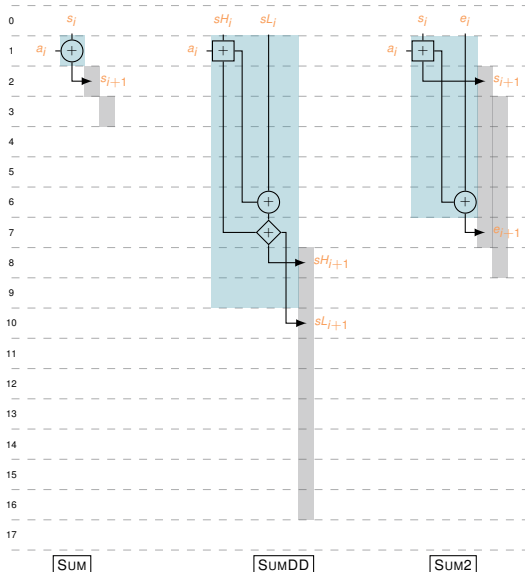
function SUMDD( $a_1, a_2, \dots, a_n$ )
   $s_H \leftarrow a_1$ 
   $s_L \leftarrow 0$ 
  for  $i = 2 : n$  do
     $[s_H, s_L] = QD\_TWO\SUM(s_H, s_L, a_i, \emptyset)$ 
  end for
  return  $s_H$ 
end function

```

```

function SUM2( $a_1, a_2, \dots, a_n$ )
   $s \leftarrow a_1$ 
   $e \leftarrow 0$ 
  for  $i = 2 : n$  do
     $[s, e] = TWO\SUM(s, a_i)$ 
     $e \leftarrow RN(e + \epsilon)$ 
  end for
  return  $RN(s + e)$ 
end function

```



Plan de l'exposé

1. Notions d'arithmétique flottante et d'amélioration de la précision

- Arithmétique flottante IEEE 754
- Transformations sans erreur
- Arithmétique double-double et algorithmes compensés

2. Transformation automatique de programme

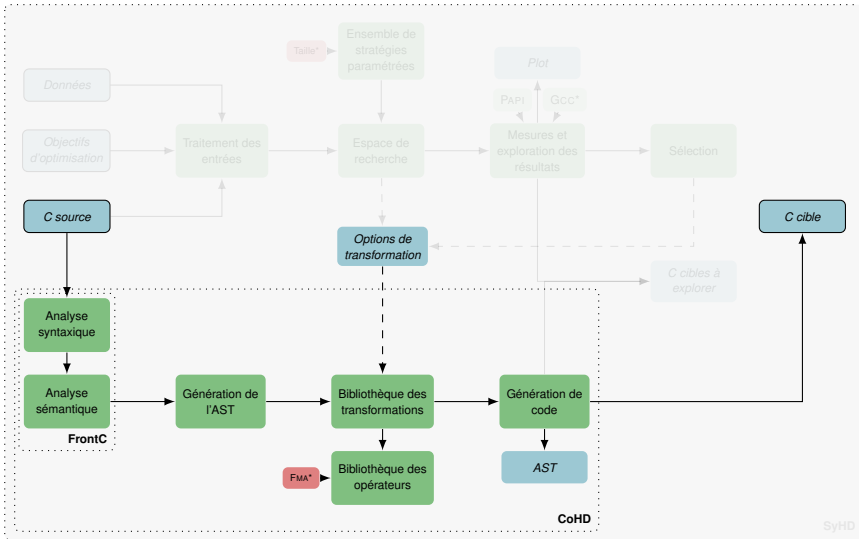
- Mise en place : l'outil CoHD
- Méthodologie : correction de la précision
- Les transformations de la somme et du produit
- Résultats expérimentaux avec comparaisons à l'existant

3. Synthèse de code pour des compromis entre précision et temps d'exécution

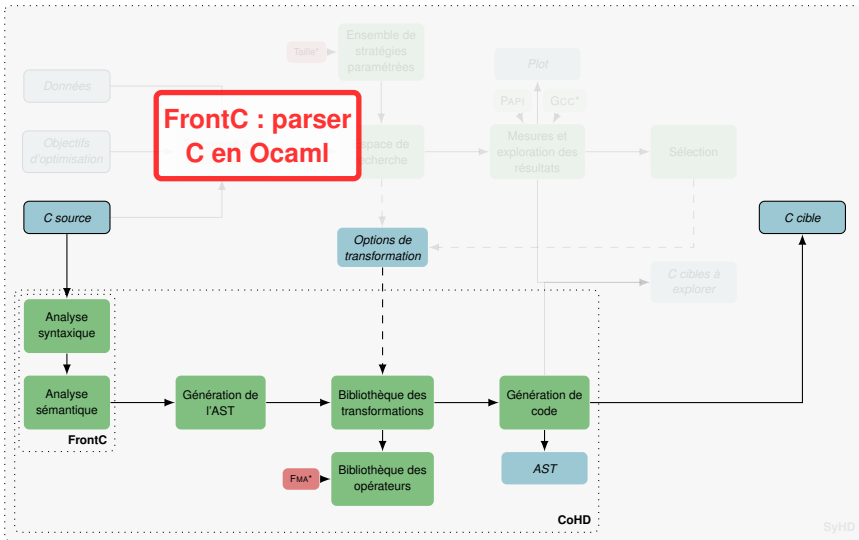
- Mise en place : l'outil SyHD
- Des stratégies de transformation de programme avec compromis
- Ensemble de programme et critères de sélection
- Résultats expérimentaux

4. Conclusions et perspectives

Un outil pour corriger la précision : **CoHD**

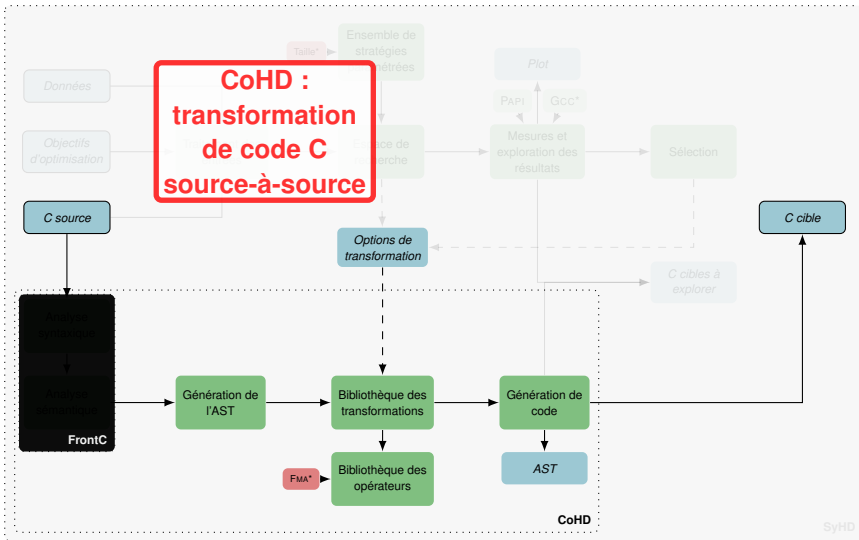


Un outil pour corriger la précision : **CoHD**



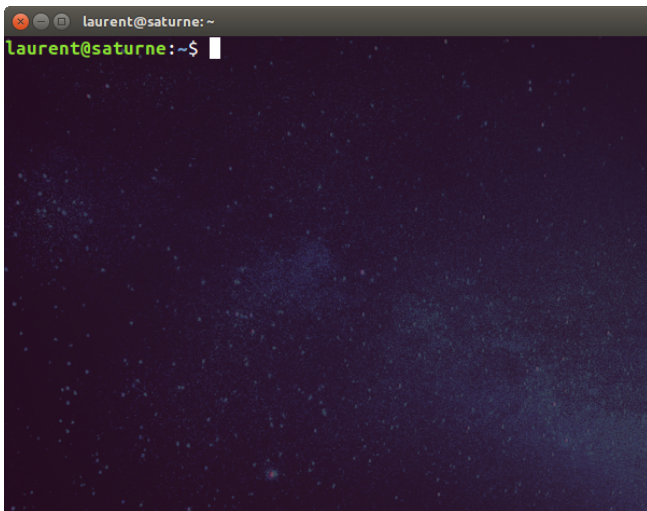
SyHD

Un outil pour corriger la précision : CoHD



SyHD

Démonstration : **transformation automatique** source-à-source



Méthodologie de la transformation : correction de la précision

Trois étapes pour la transformation

1. Détecter les **séquences** d'opérations flottantes

Méthodologie de la transformation : correction de la précision

Trois étapes pour la transformation

1. Détecter les **séquences** d'opérations flottantes
2. Pour chaque séquence : **calculer les erreurs** puis les **accumuler** tout au long de la suite d'opérations

Méthodologie de la transformation : correction de la précision

Trois étapes pour la transformation

1. Détecter les **séquences** d'opérations flottantes
2. Pour chaque séquence : **calculer les erreurs** puis les **accumuler** tout au long de la suite d'opérations
3. **Fermer** les séquences

Méthodologie de la transformation : correction de la précision

Trois étapes pour la transformation

1. Détecter les **séquences** d'opérations flottantes
 - ▶ Une séquence est l'ensemble \mathcal{E} de toutes les opérations flottantes dépendantes requises à l'obtention d'un ou plusieurs résultats : *calcul des dépendances à partir de l'AST*
2. Pour chaque séquence : **calculer les erreurs** puis les **accumuler** tout au long de la suite d'opérations
3. **Fermer** les séquences

Méthodologie de la transformation : correction de la précision

Trois étapes pour la transformation

1. Détecter les **séquences** d'opérations flottantes

- ▶ Une séquence est l'ensemble \mathcal{E} de toutes les opérations flottantes dépendantes requises à l'obtention d'un ou plusieurs résultats : *calcul des dépendances à partir de l'AST*

2. Pour chaque séquence : **calculer les erreurs** puis les **accumuler** tout au long de la suite d'opérations

- ▶ remplacer les opérations *élémentaires* par des EFT
- ▶ accumuler les termes d'erreurs

un nombre flottant x correspond alors à un nombre « automatiquement compensé » (auto-comp) : la paire (x, δ_x) où $\delta_x \in \mathbb{F}$ est l'approximation des erreurs accumulées résultant du calcul de x

3. **Fermer** les séquences

Méthodologie de la transformation : correction de la précision

Trois étapes pour la transformation

1. Détecter les **séquences** d'opérations flottantes

- ▶ Une séquence est l'ensemble \mathcal{E} de toutes les opérations flottantes dépendantes requises à l'obtention d'un ou plusieurs résultats : *calcul des dépendances à partir de l'AST*

2. Pour chaque séquence : **calculer les erreurs** puis les **accumuler** tout au long de la suite d'opérations

- ▶ remplacer les opérations *élémentaires* par des EFT
- ▶ accumuler les termes d'erreurs

un nombre flottant x correspond alors à un nombre « automatiquement compensé » (auto-comp) : la paire (x, δ_x) où $\delta_x \in \mathbb{F}$ est l'approximation des erreurs accumulées résultant du calcul de x

3. **Fermer** les séquences

- ▶ c'est l'étape de correction proprement dite : pour fermer une séquence, sommer x et δ_x pour chacun des résultats de la séquence

$$\text{Fermeture}(\mathcal{E}) \Leftrightarrow \forall x \text{ un résultat de la séquence} : x \leftarrow RN(x + \delta_x)$$

Les transformations de la somme et du produit

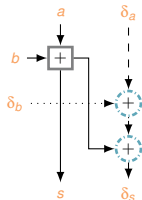
```
function AUTOCOMP_TWOSUM((a,  $\delta_a$ ), (b,  $\delta_b$ ))
```

```
  [s,  $\delta_+$ ] = TWOSUM(a, b)
```

```
   $\delta_s \leftarrow RN((\delta_a + \delta_b) + \delta_+)$ 
```

```
  return (s,  $\delta_s$ )
```

```
end function
```



AUTOCOMP_TWOSUM

	<i>flop</i>	Latence
AC_TwoSUM	8	6

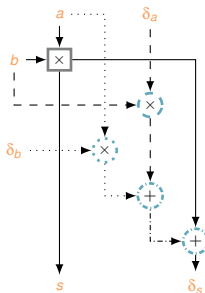
```
function AUTOCOMP_TWOPRODUCT((a,  $\delta_a$ ), (b,  $\delta_b$ ))
```

```
  [s,  $\delta_x$ ] = TWOPRODUCT(a, b)
```

```
   $\delta_s \leftarrow RN((a \times \delta_b) + (b \times \delta_a) + \delta_x)$ 
```

```
  return (s,  $\delta_s$ )
```

```
end function
```



AUTOCOMP_TWOPRODUCT

	<i>flop</i>	Latence
AC_TwoPRODUCT	21	9

Les transformations de la somme et du produit

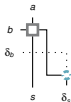
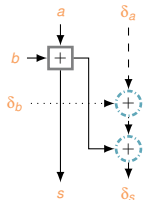
```
function AUTOCOMP_TWOSUM((a,  $\delta_a$ ), (b,  $\delta_b$ ))
```

```
  [s,  $\delta_+$ ] = TWOSUM(a, b)
```

```
   $\delta_s \leftarrow RN(\delta_a + \delta_+)$ 
```

```
  return (s,  $\delta_s$ )
```

```
end function
```



AUTOCOMP_TWOSUM

	<i>flop</i>	Latence
AC_TwoSUM	7	6

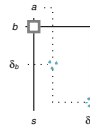
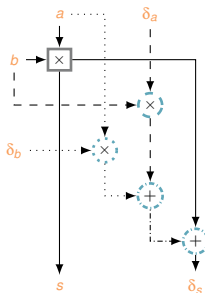
```
function AUTOCOMP_TWOPRODUCT((a,  $\delta_a$ ), (b,  $\delta_b$ ))
```

```
  [s,  $\delta_x$ ] = TWOPRODUCT(a, b)
```

```
   $\delta_s \leftarrow RN((a \times \delta_b) + \delta_x)$ 
```

```
  return (s,  $\delta_s$ )
```

```
end function
```



AUTOCOMP_TWOPRODUCT

	<i>flop</i>	Latence
AC_TwoPRODUCT	19	9

Les transformations de la somme et du produit

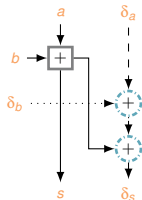
```
function AUTOCOMP_TWOSUM((a,  $\delta_a$ ), (b,  $\delta_b$ ))
```

```
  [s,  $\delta_+$ ] = TWOSUM(a, b)
```

```
   $\delta_s \leftarrow RN(\delta_b + \delta_+)$ 
```

```
  return (s,  $\delta_s$ )
```

```
end function
```



AUTOCOMP_TWOSUM

	<i>flop</i>	Latence
AC_TwoSum	7	6

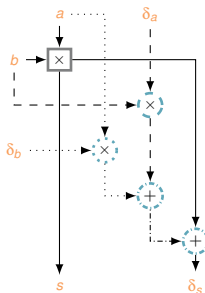
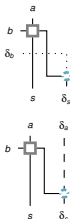
```
function AUTOCOMP_TWOPRODUCT((a,  $\delta_a$ ), (b,  $\delta_b$ ))
```

```
  [s,  $\delta_x$ ] = TWOPRODUCT(a, b)
```

```
   $\delta_s \leftarrow RN((b \times \delta_a) + \delta_x)$ 
```

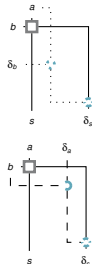
```
  return (s,  $\delta_s$ )
```

```
end function
```



AUTOCOMP_TWOPRODUCT

	<i>flop</i>	Latence
AC_TwoProduct	19	9



Les transformations de la somme et du produit

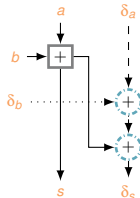
```
function AUTOCOMP_TWOSUM((a,  $\delta_a$ ), (b,  $\delta_b$ ))
```

```
  [s,  $\delta_+$ ] = TWOSUM(a, b)
```

```
   $\delta_s \leftarrow \delta_+$ 
```

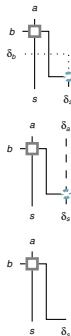
```
  return (s,  $\delta_s$ )
```

```
end function
```



AUTOCOMP_TWOSUM

	flop	Latence
AC_TwoSUM	6	5



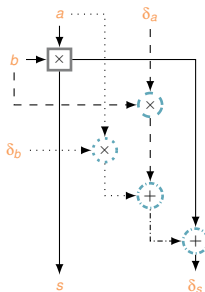
```
function AUTOCOMP_TWOPRODUCT((a,  $\delta_a$ ), (b,  $\delta_b$ ))
```

```
  [s,  $\delta_x$ ] = TWOPRODUCT(a, b)
```

```
   $\delta_s \leftarrow \delta_x$ 
```

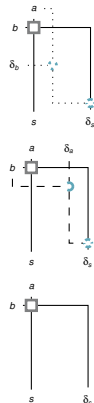
```
  return (s,  $\delta_s$ )
```

```
end function
```



AUTOCOMP_TWOPRODUCT

	flop	Latence
AC_TwoPRODUCT	17	8



Résultats expérimentaux avec comparaisons à l'existant

Ces transformations permettent-elles de retrouver les résultats de la littérature ?

Algorithmes DD et compensés :

- Sommation : SUM2 [ROO05]
- Évaluation polynomiale
 - monômes HORNER [GLL09] HORNERDER [JGH13]
 - Bernstein DECASTELJAU, DECASTELJAUDER [JLCS10]
 - Tchebychev CLENSHAWI, CLENSHAWII [JBL11]

Illustration du processus de transformation avec l'algorithme HORNER

Analyse à l'image des études similaires faites dans la littérature [Lou07]

function HORNER(p, x)

$r_n \leftarrow a_n$

for $i = n - 1 : -1 : 0$ **do**

$r_i \leftarrow RN(r_{i+1} \times x + a_i)$

end for

return r_0

end function

polynôme $p_H(x) = (x - 0,75)^5(x - 1,0)^{11}$

données 512 points $x \in \{0,68 : 1,15\}$

mesures bits corrects, cycles, instructions, IPC

Transformation automatique du programme d'évaluation polynomiale HORNER

```
double
Horner(double *P, unsigned int n, double x) {
    double r ;
    int i ;

    r = P[n] ;
    for(i = n-1; i >= 0; i--) {
        r = r * x + P[i] ;
    }
    return r ;
}
```

Première transformation

Transformation automatique du programme d'évaluation polynomiale HORNER

```
double
Horner(double *P, unsigned int n, double x) {
    double r, tmp;
    int i;

    r = P[n];
    for(i = n-1; i >= 0; i--) {
        tmp = r * x;
        r = tmp + P[i];
    }

    return r;
}
```

Première transformation → passage au format trois adresses

Transformation automatique du programme d'évaluation polynomiale HORNER

```
double
Horner(double *P, unsigned int n, double x) {
    double r, tmp ;
    int i ;

    r = P[n] ;
    for(i = n-1; i >= 0; i--) {
        tmp = r * x ;
        r = tmp + P[i] ;
    }

    return r ;
}
```

Détection des séquences d'opérations

Transformation automatique du programme d'évaluation polynomiale HORNER

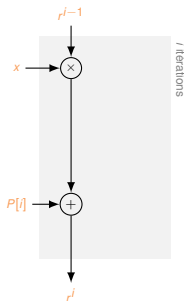
```

double
Horner(double *P, unsigned int n, double x) {
    double r, tmp ;
    int i ;

    r = P[n] ;
    for(i = n-1; i >= 0; i--) {
        tmp = r * x ;
        r = tmp + P[i] ;
    }

    return r ;
}

```



Détection des séquences d'opérations → 1 séquence détectée

Compteurs (d'opérations flottantes)		
nombre total	latence par itération	latence totale
$2n$	2	$2n$

Transformation automatique du programme d'évaluation polynomiale HORNER

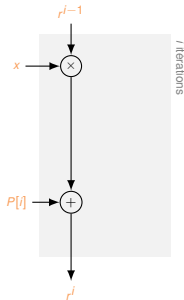
```

double
Horner(double *P, unsigned int n, double x) {
    double r, tmp ;
    int i ;

    r = P[n] ;
    for(i = n-1; i >= 0; i--) {
        tmp = r * x ;
        r = tmp + P[i] ;
    }

    return r ;
}

```



Appliquer les transformations pour chaque opération de la séquence

Compteurs (d'opérations flottantes)		
nombre total	latence par itération	latence totale
$2n$	2	$2n$

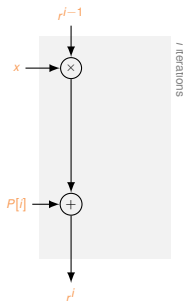
Transformation automatique du programme d'évaluation polynomiale HORNER

```

double
Horner(double *P, unsigned int n, double x) {
    double r, tmp, d_tmp, d_r ;
    int i ;

    r = P[n] ;
    d_r = 0.0 ;
    for(i = n-1; i >= 0; i--) {
        tmp = r * x ;
        r = tmp + P[i] ;
    }
    return r ;
}

```



Appliquer les transformations pour chaque opération de la séquence \rightarrow mais avant déterminer les données étendues (i.e. *auto-comp*)

Compteurs (d'opérations flottantes)		
nombre total	latence par itération	latence totale
$2n$	2	$2n$

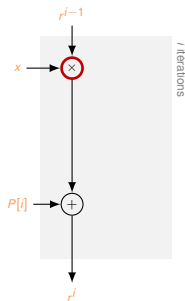
Transformation automatique du programme d'évaluation polynomiale HORNER

```

double
Horner(double *P, unsigned int n, double x) {
    double r, tmp, d_tmp, d_r ;
    int i ;

    r = P[n] ;
    d_r = 0.0 ;
    for(i = n-1; i >= 0; i--) {
        tmp = r * x ;
        r = tmp + P[i] ;
    }
    return r ;
}

```



Transformation de la multiplication $tmp = r * x$

$[tmp, dtmp] = \text{AUTOCOMP_TWOPRODUCT}(r, d_r, x, \emptyset)$

coût : 19 (latence de 9) opérations flottantes

Compteurs (d'opérations flottantes)		
nombre total	latence par itération	latence totale
$2n$	2	$2n$

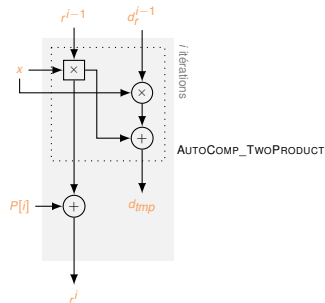
Transformation automatique du programme d'évaluation polynomiale HORNER

```

double
Horner(double *P, unsigned int n, double x) {
    double r, tmp, d_tmp, d_r, c, rh, rl, xh, xl, d_2p;
    int i;

    r = P[n];
    d_r = 0.0;
    for(i = n-1; i >= 0; i--) {
        tmp = r * x;
        c = r * 134217729;
        rh = c - (c - r);
        rl = r - rh;
        c = x * 134217729;
        xh = c - (c - x);
        xl = x - xh;
        d_2p = rl * xl - ((x - rh * xh) - rl * xh) - rh * xl;
        d_tmp = d_2p + d_r * x;
        r = tmp + P[i];
    }
    return r;
}

```



Transformation de la multiplication $tmp = r * x$

$$[tmp, dtmp] = \text{AUTOCOMP_TwoPRODUCT}(r, d_r, x, \emptyset)$$

coût : 19 (latence de 9) opérations flottantes

Compteurs (d'opérations flottantes)		
nombre total	latence par itération	latence totale
$(2+18)n$	9	?

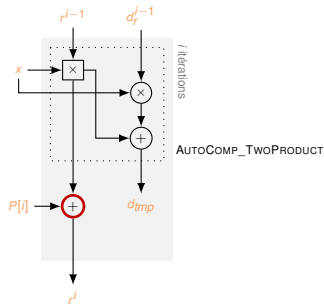
Transformation automatique du programme d'évaluation polynomiale HORNER

```

double
Horner(double *P, unsigned int n, double x) {
  double r, tmp, d_tmp, d_r, c, rh, rl, xh, xl, d_2p ;
  int i ;

  r = P[n] ;
  d_r = 0.0 ;
  for(i = n-1; i >= 0; i--) {
    tmp = r * x ;
    c = r * 134217729 ;
    rh = c - (c - r) ;
    rl = r - rh ;
    c = x * 134217729 ;
    xh = c - (c - x) ;
    xl = x - xh ;
    d_2p = rl * xl - ((x - rh * xh) - rl * xh) - rh * xl ;
    d_tmp = d_2p + d_r * x ;
    r = tmp + P[i] ;
  }
  return r ;
}

```



Transformation de la somme $r = tmp + P[i]$

$$[r, d_r] = \text{AUTOCOMP_TWO\SUM}(tmp, d_{tmp}, P[i], \emptyset)$$

coût : 7 (latence de 6) opérations flottantes

Compteurs (d'opérations flottantes)		
nombre total	latence par itération	latence totale
$20n$	9	?

Transformation automatique du programme d'évaluation polynomiale HORNER

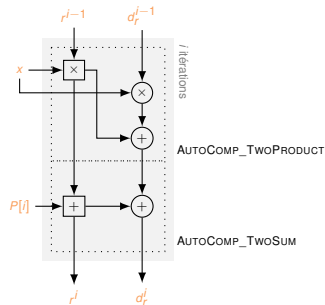
```

double
Horner(double *P, unsigned int n, double x) {
    double r, tmp, d_tmp, d_r, c, rh, rl, xh, xl, d_2p, u, d_2s;
    int i;

    r = P[n];
    d_r = 0.0;
    for(i = n-1; i >= 0; i--) {
        tmp = r * x;
        c = r * 134217729;
        rh = c - (c - r);
        rl = r - rh;
        c = x * 134217729;
        xh = c - (c - x);
        xl = x - xh;
        d_2p = rl * xl - ((x - rh * xh) - rl * xh) - rh * xl;
        d_tmp = d_2p + d_r * x;
        r = tmp + P[i];
        u = r - tmp;
        d_2s = (tmp - (r - u)) + (P[i] - u);
        d_r = d_2s + d_tmp;
    }

    return r;
}

```



Transformation de la somme $r = tmp + P[i]$

$$[r, d_r] = \text{AUTOCOMP_TWO\SUM}(tmp, d_{tmp}, P[i], \emptyset)$$

coût : 7 (latence de 6) opérations flottantes

Compteurs (d'opérations flottantes)		
nombre total	latence par itération	latence totale
$(20+6)n$	10	?

Transformation automatique du programme d'évaluation polynomiale HORNER

```

double
Horner(double *P, unsigned int n, double x) {
    double r, tmp, d_tmp, d_r, c, rh, rl, xh, xl, d_2p, u, d_2s ;
    int i ;

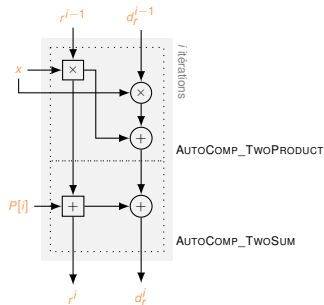
    r = P[n] ;
    d_r = 0.0 ;
    for(i = n-1; i >= 0; i--) {
        tmp = r * x ;
        c = r * 134217729 ;
        rh = c - (c - r) ;
        rl = r - rh ;
        c = x * 134217729 ;
        xh = c - (c - x) ;
        xl = x - xh ;
        d_2p = rl * xl - ((x - rh * xh) - rl * xh) - rh * xl ;
        d_tmp = d_2p + d_r * x ;
        r = tmp + P[i] ;
        u = r - tmp ;
        d_2s = (tmp - (r - u)) + (P[i] - u) ;
        d_r = d_2s + d_tmp ;
    }

    return r ;
}

```

Fermeture de la séquence d'opérations

Remarque : chevauchement des itérations sur 8 cycles d'une itération à la suivante, la latence pour les n itérations est donc de $2n+8$



Compteurs (d'opérations flottantes)		
nombre total	latence par itération	latence totale
$26n$	10	$2n+8$

Transformation automatique du programme d'évaluation polynomiale HORNER

```

double
Horner(double *P, unsigned int n, double x) {
  double r, tmp, d_tmp, d_r, c, rh, rl, xh, xl, d_2p, u, d_2s ;
  int i ;

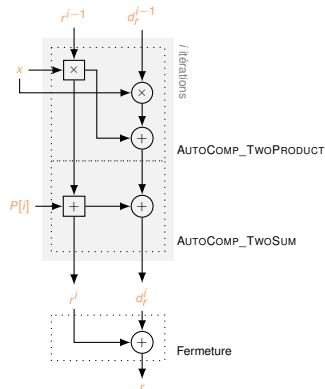
  r = P[n] ;
  d_r = 0.0 ;
  for(i = n-1; i >= 0; i--) {
    tmp = r * x ;
    c = r * 134217729 ;
    rh = c - (c - r) ;
    rl = r - rh ;
    c = x * 134217729 ;
    xh = c - (c - x) ;
    xl = x - xh ;
    d_2p = rl * xl - ((x - rh * xh) - rl * xh) - rh * xl ;
    d_tmp = d_2p + d_r * x ;
    r = tmp + P[i] ;
    u = r - tmp ;
    d_2s = (tmp - (r - u)) + (P[i] - u) ;
    d_r = d_2s + d_tmp ;
  }
  return r + d_r ;
}

```

Fermeture de la séquence d'opérations

$$r = r + d_r$$

coût : 1 opération flottante



Compteurs (d'opérations flottantes)		
nombre total	latence par itération	latence totale
$26n+1$	10	$2n+9$

auto-comp vs double-double et compensation 1/2

Comparaison des codes sources

```

double r, tmp, d_tmp, d_r, c, rh, rl, xh, xl, d_2p, u,
       d_2s ;
int i ;

r = P[n] ;
d_r = 0.0 ;

for(i = n-1; i >= 0; i--) {
    tmp = r * x ;
    c = r * 134217729 ;
    rh = c - (c - r) ;
    rl = r - rh ;
    c = x * 134217729 ;
    xh = c - (c - x) ;
    xl = x - xh ;
    d_2p = rl * xl - (((x - rh * xh) - rl * xh) - rh * xl
                    ) ;
    d_tmp = d_2p + d_r * x ;
    r = tmp + P[i] ;
    u = r - tmp ;
    d_2s = (tmp - (r - u)) + (P[i] - u) ;
    d_r = d_2s + d_tmp ;
}

return r + d_r ;

```

ACHORNER

```

double r_h, r_l, t_h, t_l, x_hi, x_lo, hi, lo, t ;
int i ;

t = x * 134217729 ;
x_hi = t - (t - x) ;
x_lo = x - x_hi ;
r_h = P[n] ;
r_l = 0.0 ;

for(i = n-1; i >= 0; i--) {
    t = r_h * 134217729 ;
    hi = t - (t - r_h) ;
    lo = (r_h - hi) ;
    t_h = r_h * x ;
    t_l = (((hi * x_hi - t_h) + hi * x_lo) + lo * x_hi) +
          lo * x_lo ;
    t_l += r_l * x ;
    r_h = t_h + t_l ;
    r_l = (t_h - r_h) + t_l ;
    t_h = r_h + P[i] ;
    t = t_h - r_h ;
    t_l = ((r_h - (t_h - t)) + (P[i] - t)) ;
    t_l += r_l ;
    r_h = t_h + t_l ;
    r_l = (t_h - r_h) + t_l ;
}

return r_h ;

```

DDHORNER

	ACHORNER	DDHORNER	COMPHORNER
opérations flottantes	$26n + 1$	$28n + 4$	
latence	$2n + 9$	$17n + 2$	

auto-comp vs double-double et compensation 1/2

Comparaison des codes sources

```
double r, tmp, d_tmp, d_r, c, rh, rl, xh, xl, d_2p, u,
      d_2s ;
int i ;

r = P[n] ;
d_r = 0.0 ;

for(i = n-1; i >= 0; i--) {
    tmp = r * x ;
    c = r * 134217729 ;
    rh = c - (c - r) ;
    rl = r - rh ;
    c = x * 134217729 ;
    xh = c - (c - x) ;
    xl = x - xh ;
    d_2p = rl * xl - (((x - rh * xh) - rl * xh) - rh * xl
                    ) ;
    d_tmp = d_2p + d_r * x ;
    r = tmp + P[i] ;
    u = r - tmp ;
    d_2s = (tmp - (r - u)) + (P[i] - u) ;
    d_r = d_2s + d_tmp ;
}

return r + d_r ;
```

ACHORNER

```
double p, r, c, pi, sig, x_hi, x_lo, hi, lo, t ;
int i ;

t = x * 134217729 ;
x_hi = t - (t - x) ;
x_lo = x - x_hi ;
r = P[n] ;
c = 0.0 ;

for(i = n-1; i >= 0; i--) {
    p = r * x ;
    t = r * 134217729 ;
    hi = t - (t - r) ;
    lo = r - hi ;
    pi = ((hi * x_hi - p) + hi * x_lo) + lo * x_hi) + lo
        * x_lo ;
    r = p + P[i] ;
    t = r - p ;
    sig = (p - (r - t)) + (P[i] - t) ;
    c = c * x + (pi+sig) ;
}

return r + c ;
```

COMPHORNER

	ACHORNER	DDHORNER	COMPHORNER
opérations flottantes	$26n + 1$	$28n + 4$	$22n + 5$
latence	$2n + 9$	$17n + 2$	$2n + 9$

auto-comp vs double-double et compensation 1/2

Comparaison des codes sources

```
double r, tmp, d_tmp, d_r, c, rh, rl, xh, xl, d_2p, u,
      d_2s ;
int i ;

r = P[n] ;
d_r = 0.0 ;

for(i = n-1; i >= 0; i--) {
    tmp = r * x ;
    c = r * 134217729 ;
    rh = c - (c - r) ;
    rl = r - rh ;
    c = x * 134217729 ;
    xh = c - (c - x) ;
    xl = x - xh ;
    d_2p = rl * xl - (((x - rh * xh) - rl * xh) - rh * xl
    ) ;
    d_tmp = d_2p + d_r * x ;
    r = tmp + P[i] ;
    u = r - tmp ;
    d_2s = (tmp - (r - u)) + (P[i] - u) ;
    d_r = d_2s + d_tmp ;
}

return r + d_r ;
```

ACHORNER

```
double p, r, c, pi, sig, x_hi, x_lo, hi, lo, t ;
int i ;

t = x * 134217729 ;
x_hi = t - (t - x) ;
x_lo = x - x_hi ;
r = P[n] ;
c = 0.0 ;

for(i = n-1; i >= 0; i--) {
    p = r * x ;
    t = r * 134217729 ;
    hi = t - (t - r) ;
    lo = r - hi ;
    pi = ((hi * x_hi - p) + hi * x_lo) + lo * x_hi) + lo
    * x_lo ;
    r = p + P[i] ;
    t = r - p ;
    sig = (p - (r - t)) + (P[i] - t) ;
    c = c * x + (pi+sig) ;
}

return r + c ;
```

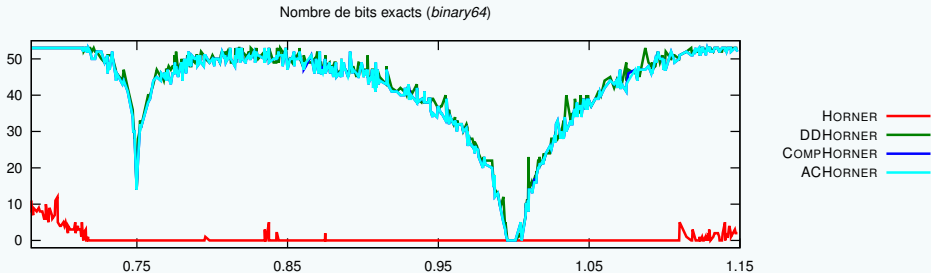
COMPHORNER

	ACHORNER	DDHORNER	COMPHORNER
opérations flottantes	$22n + 5$	$28n + 4$	$22n + 5$
latence	$2n + 9$	$17n + 2$	$2n + 9$

auto-comp vs double-double et compensation 2/2

Comparaison avec les résultats de la littérature

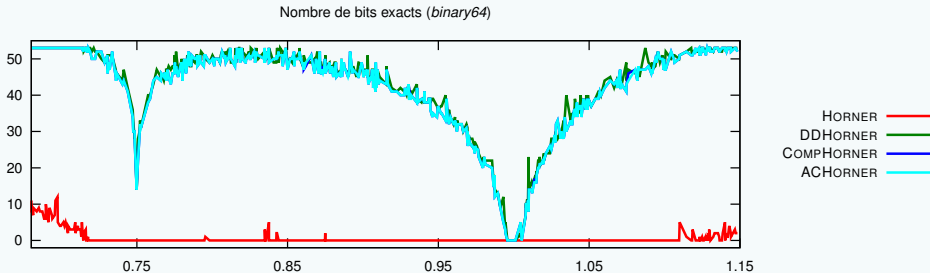
Mesures de précision



auto-comp vs double-double et compensation 2/2

Comparaison avec les résultats de la littérature

Mesures de précision



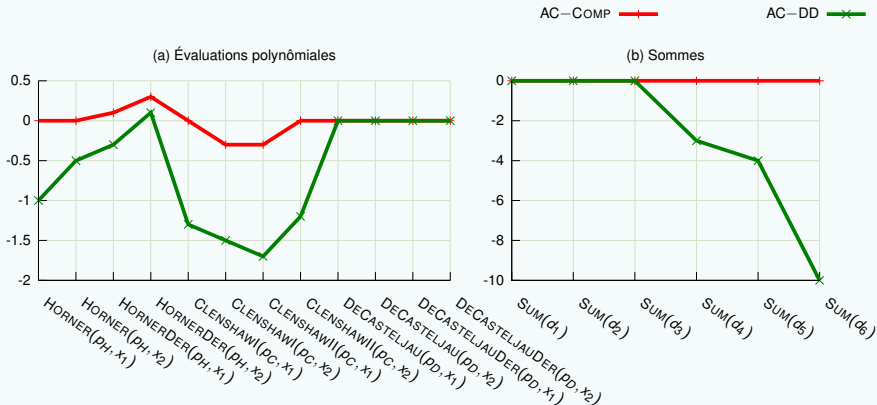
Mesures de performances

(PAPI : moyenne sur 10^6 mesures, Ubuntu 12.04, Core i5 2.53GHz, Gcc -O2)

	PAPI : Instructions Cycles IPC			PERPI : Instructions Cycles IPC		
HORNER	42	57	0,73	76	37	2,05
COMPHORNER	532	277	1,99	566	62	9,12
DDHORNER	658	920	0,72	676	325	2,08
ACHORNER	553	303	1,82	581	77	7,54
AC/COMP	1,04	1,09	0,95	1,02	1,24	0,82
AC/DD	0,84	0,33	2,55	0,85	0,23	3,62

Résultats expérimentaux : la précision

Différence du nombre de bits corrects de AC vs. COMP et AC vs. DD



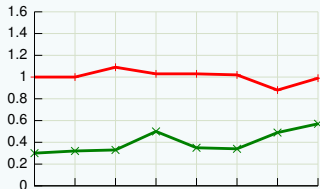
p_H	polynôme $p_H(x) = (x - 0,75)^5(x - 1,0)^{11}$
p_C	polynôme $p_C(x) = (x - 0,75)^7(x - 1,0)^{10}$
p_D	polynôme $p_D(x) = (x - 0,75)^7(x - 1,0)$
x_1	256 valeurs tirées uniformément dans $\{0,85 : 0,95\}$
x_2	256 valeurs tirées uniformément dans $\{1,05 : 1,15\}$

d_1	32 jeux de 10^4 valeurs de conditionnement 10^8
d_2	32 jeux de 10^5 valeurs de conditionnement 10^8
d_3	32 jeux de 10^6 valeurs de conditionnement 10^8
d_4	32 jeux de 10^4 valeurs de conditionnement 10^{16}
d_5	32 jeux de 10^5 valeurs de conditionnement 10^{16}
d_6	32 jeux de 10^6 valeurs de conditionnement 10^{16}

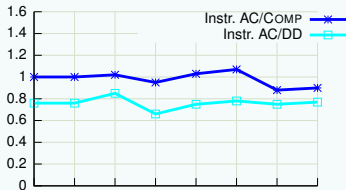
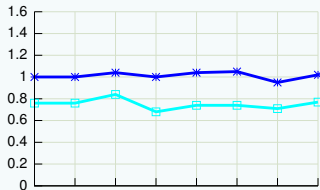
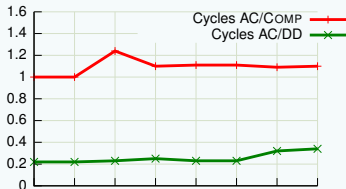
Résultats expérimentaux : les performances

Ratio (cycles et instructions) entre les algorithmes AC/Comp et AC/DD

(a) PAPI



(b) PERPI



SUM(d_2) SUM(d_5) HORNER(p_H, x) HORNERDER(p_H, x) GLENSHAWII(p_C, x) GLENSHAWII(p_C, x) DECASTELJAU(p_D, x) DECASTELJAU(pD, x)

Plan de l'exposé

1. Notions d'arithmétique flottante et d'amélioration de la précision

- Arithmétique flottante IEEE 754
- Transformations sans erreur
- Arithmétique double-double et algorithmes compensés

2. Transformation automatique de programme

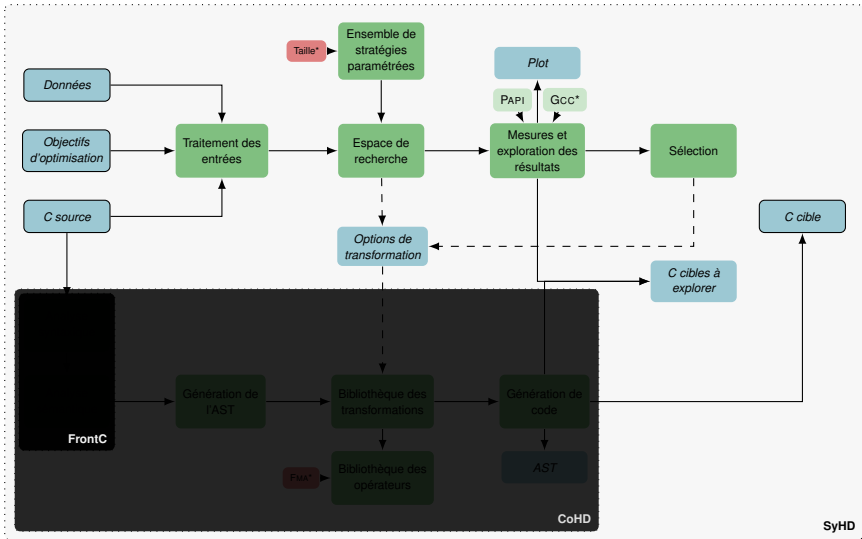
- Mise en place : l'outil CoHD
- Méthodologie : correction de la précision
- Les transformations de la somme et du produit
- Résultats expérimentaux avec comparaisons à l'existant

3. Synthèse de code pour des compromis entre précision et temps d'exécution

- Mise en place : l'outil SyHD
- Des stratégies de transformation de programme avec compromis
- Ensemble de programme et critères de sélection
- Résultats expérimentaux

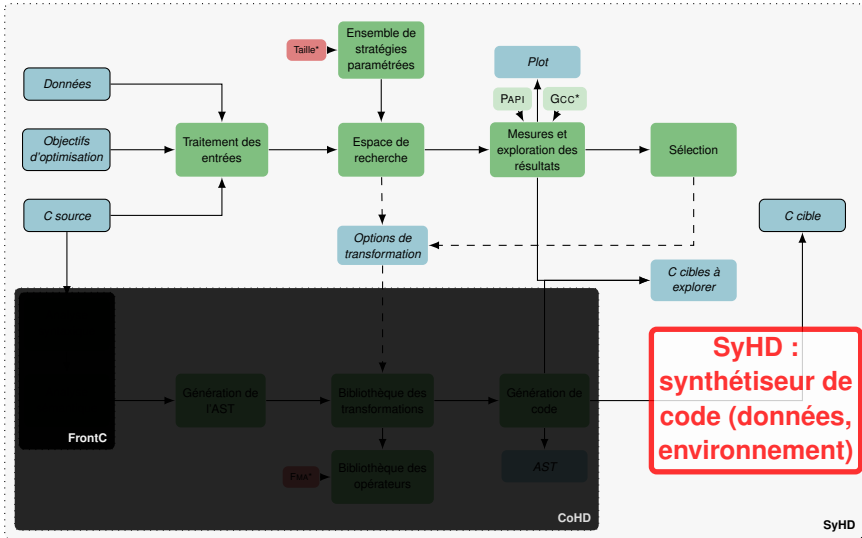
4. Conclusions et perspectives

Un outil pour assurer la synthèse : SyHD



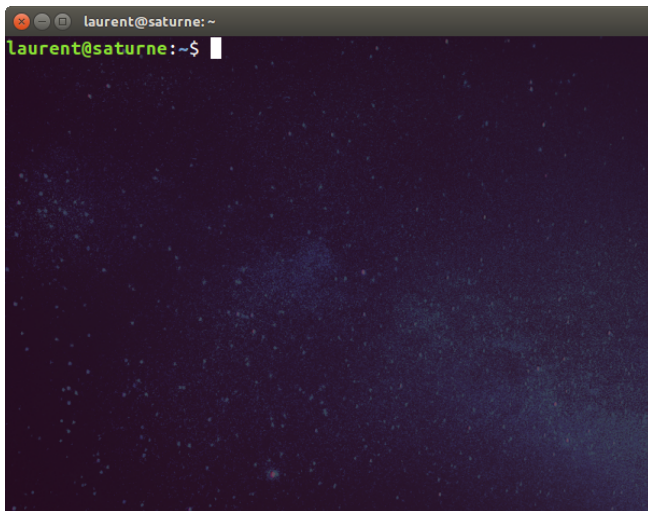
SyHD

Un outil pour assurer la synthèse : SyHD



SyHD

Démonstration de la **synthèse de code**



Des stratégies de transformation de programme



Représentation d'une trace : exécution séquentielle

Des stratégies de transformation de programme



Représentation d'une trace : exécution séquentielle

The diagram shows a horizontal bar with a light blue center and hatched ends. A small red vertical bar is positioned at the end of the blue section.



Propagation p_1 : fermetures multiples

The diagram shows a horizontal bar with a light blue center and hatched ends. Two red vertical bars are positioned at different points along the blue section. The word "fermeture" is written in red below each bar. A red box containing "P1" is at the end of the bar.

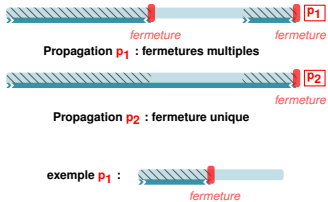


Propagation p_2 : fermeture unique

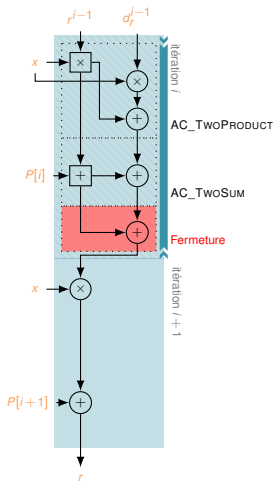
The diagram shows a horizontal bar with a light blue center and hatched ends. A single red vertical bar is positioned at the end of the blue section. The word "fermeture" is written in red below the bar. A red box containing "P2" is at the end of the bar.

Des stratégies de transformation de programme

Représentation d'une trace : exécution séquentielle

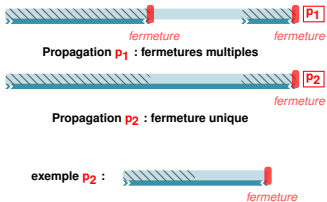


Propagacion p_1



Des stratégies de transformation de programme

Représentation d'une trace : exécution séquentielle



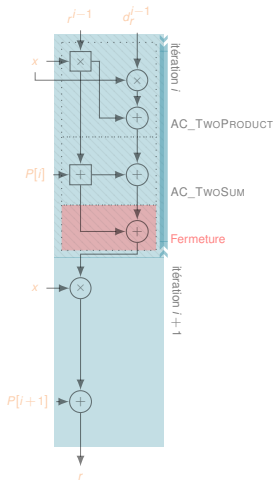
```

function AUTOPROP_TWOSUM((a,  $\delta_a$ ), (b,  $\delta_b$ ))
  s  $\leftarrow$  RN(a + b)
   $\delta_s$   $\leftarrow$  RN( $\delta_a$  +  $\delta_b$ )
  return (s,  $\delta_s$ )
end function
  
```

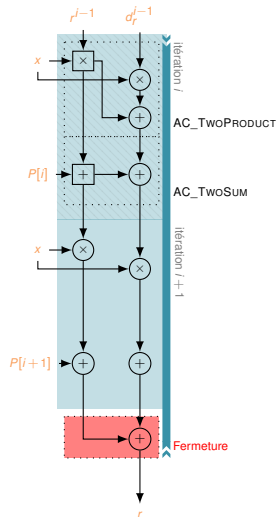
```

function AUTOPROP_TWOPRODUCT((a,  $\delta_a$ ), (b,  $\delta_b$ ))
  s  $\leftarrow$  RN(a  $\times$  b)
   $\delta_s$   $\leftarrow$  RN(a  $\times$   $\delta_b$  + b  $\times$   $\delta_a$ )
  return (s,  $\delta_s$ )
end function
  
```

Propagation p_1

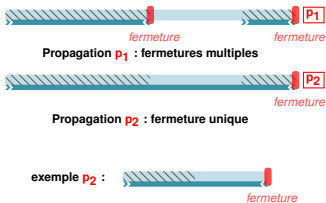


Propagation p_2



Des stratégies de transformation de programme

Représentation d'une trace : exécution séquentielle



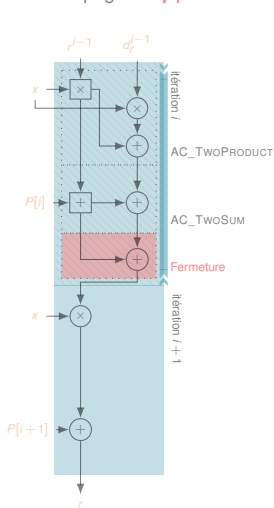
```

function AUTOPROP_TWOSUM((a,  $\delta_a$ ), (b,  $\delta_b$ ))
  s  $\leftarrow$  RN(a + b)
   $\delta_s$   $\leftarrow$  RN( $\delta_a$  +  $\delta_b$ )
  return (s,  $\delta_s$ )
end function
  
```

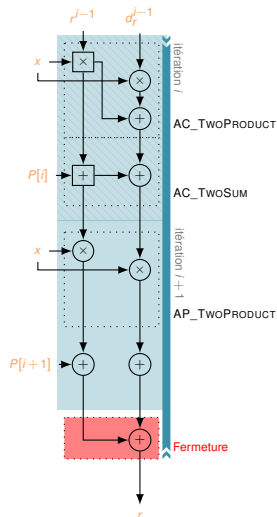
```

function AUTOPROP_TWOPRODUCT((a,  $\delta_a$ ), (b,  $\delta_b$ ))
  s  $\leftarrow$  RN(a  $\times$  b)
   $\delta_s$   $\leftarrow$  RN(a  $\times$   $\delta_b$  + b  $\times$   $\delta_a$ )
  return (s,  $\delta_s$ )
end function
  
```

Propagation p_1

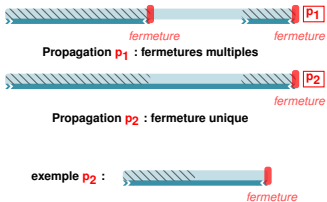


Propagation p_2



Des stratégies de transformation de programme

Représentation d'une trace : exécution séquentielle



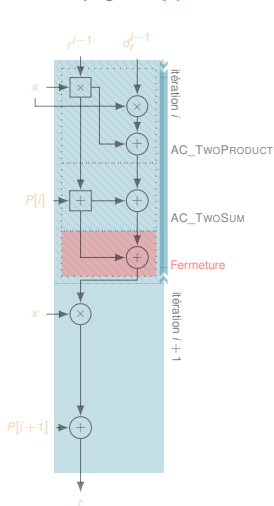
```

function AUTOPROP_TWOSUM((a,  $\delta_a$ ), (b,  $\delta_b$ ))
  s  $\leftarrow$  RN(a + b)
   $\delta_s$   $\leftarrow$  RN( $\delta_a$  +  $\delta_b$ )
  return (s,  $\delta_s$ )
end function
  
```

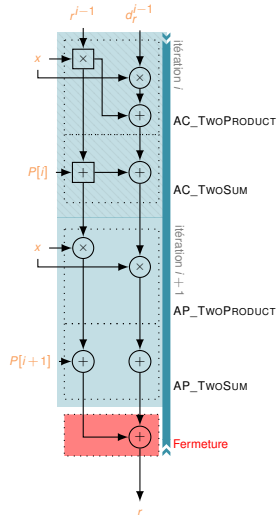
```

function AUTOPROP_TWOPRODUCT((a,  $\delta_a$ ), (b,  $\delta_b$ ))
  s  $\leftarrow$  RN(a  $\times$  b)
   $\delta_s$   $\leftarrow$  RN(a  $\times$   $\delta_b$  + b  $\times$   $\delta_a$ )
  return (s,  $\delta_s$ )
end function
  
```

Propagation p_1



Propagation p_2

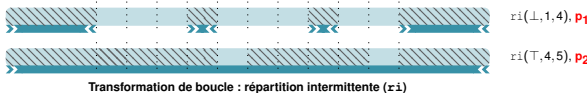
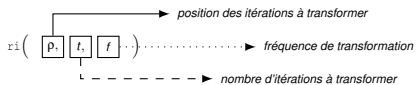
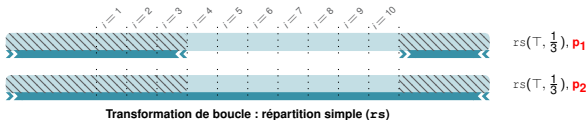
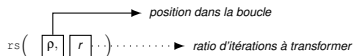


Des stratégies de transformation de programme



Les stratégies

- $rs(\rho, r)$
- $ri(\rho, t, f)$

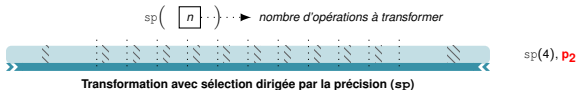
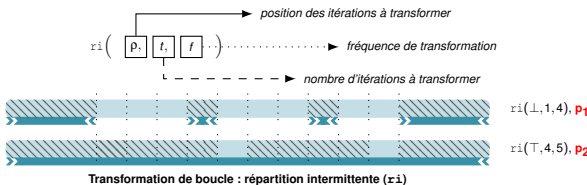
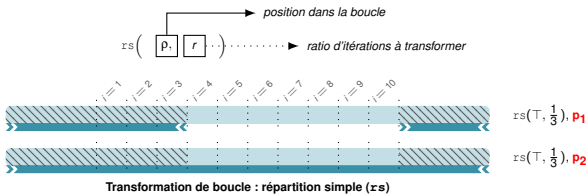


Des stratégies de transformation de programme



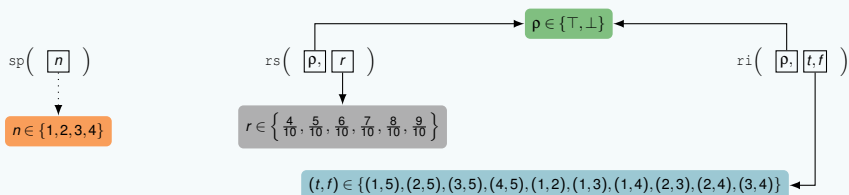
Les stratégies

- $rs(\rho, r)$
- $ri(\rho, t, f)$
- $sp(n)$



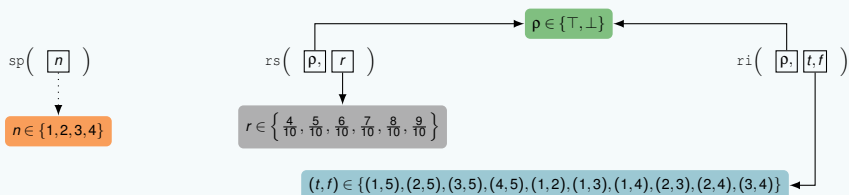
Un espace de recherche E

Pour un ensemble représentatif des transformations possibles



Un espace de recherche E

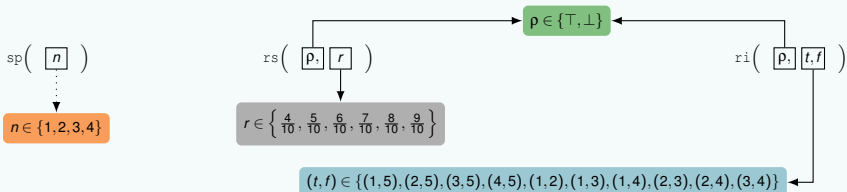
Pour un ensemble représentatif des transformations possibles



- Utilisation supplémentaire des propagations p_1 et p_2 complète l'ensemble

Un espace de recherche E

Pour un ensemble représentatif des transformations possibles



- Utilisation supplémentaire des propagations p_1 et p_2 complète l'ensemble



Exemple : ensemble de stratégies générées pour la synthèse du programme HORNER selon les paramètres p, r, t, f, n, p_1, p_2



Des critères de sélection R^0, R^1, R^2

Objectifs

Un maximum de précision

$$R^0 = \min_{s \in \{\max_{s \in E} r_{bits\ exacts}(s)\}} r_{cycles}(s)$$

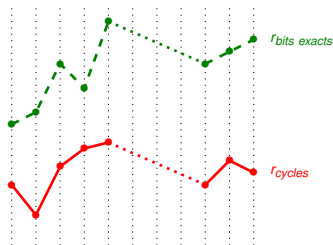
- r_{cycles} ratio de cycles entre AC et DD
- $r_{bits\ exacts}$ ratio de bits exacts entre AC et DD

Un bon compromis temps-précision

$$R^1 = \min_{s \in E} (\alpha \cdot r_{bits\ faux}(s) + \beta \cdot r_{cycles}(s))$$

- où $\alpha + \beta = 1$ et $r_{bits\ faux} = 1 - r_{bits\ exacts}$

$$R^2 = \max_{s \in E} | r_{bits\ exacts}(s) - r_{cycles}(s) |$$



$E \in \{ \text{stratégie 1}, \text{stratégie 2}, \text{stratégie 3}, \text{stratégie 4}, \text{stratégie 5}, \dots, \dots, \text{stratégie } n-2, \text{stratégie } n-1, \text{stratégie } n \}$

Des critères de sélection R^0, R^1, R^2

Objectifs

Un maximum de précision

$$R^0 = \min_{s \in \{\max_{s \in E} r_{bits \text{ exacts}}(s)\}} r_{cycles}(s)$$

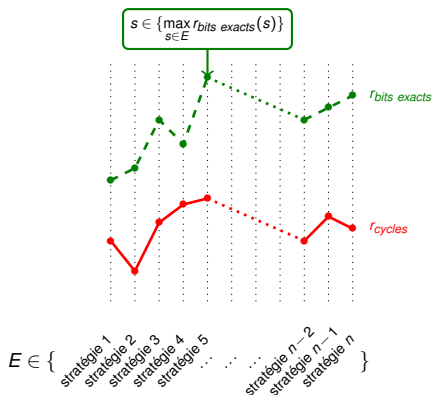
- r_{cycles} ratio de cycles entre AC et DD
- $r_{bits \text{ exacts}}$ ratio de bits exacts entre AC et DD

Un bon compromis temps-précision

$$R^1 = \min_{s \in E} (\alpha \cdot r_{bits \text{ faux}}(s) + \beta \cdot r_{cycles}(s))$$

- où $\alpha + \beta = 1$ et $r_{bits \text{ faux}} = 1 - r_{bits \text{ exacts}}$

$$R^2 = \max_{s \in E} | r_{bits \text{ exacts}}(s) - r_{cycles}(s) |$$



Des critères de sélection R^0, R^1, R^2

Objectifs

Un maximum de précision

$$R^0 = \min_{s \in \{\max_{s \in E} r_{bits\ exacts}(s)\}} r_{cycles}(s)$$

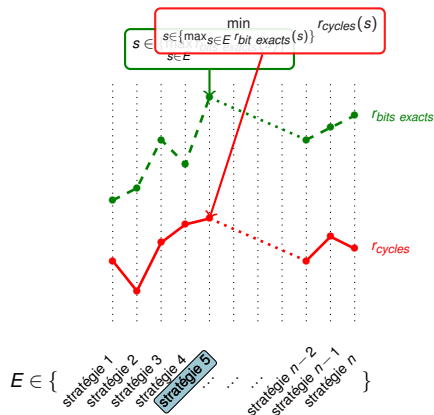
- r_{cycles} ratio de cycles entre AC et DD
- $r_{bits\ exacts}$ ratio de bits exacts entre AC et DD

Un bon compromis temps-précision

$$R^1 = \min_{s \in E} (\alpha \cdot r_{bits\ faux}(s) + \beta \cdot r_{cycles}(s))$$

- où $\alpha + \beta = 1$ et $r_{bits\ faux} = 1 - r_{bits\ exacts}$

$$R^2 = \max_{s \in E} | r_{bits\ exacts}(s) - r_{cycles}(s) |$$



Des critères de sélection R^0, R^1, R^2

Objectifs

Un maximum de précision

$$R^0 = \min_{s \in \{\max_{s \in E} r_{bits\ exacts}(s)\}} r_{cycles}(s)$$

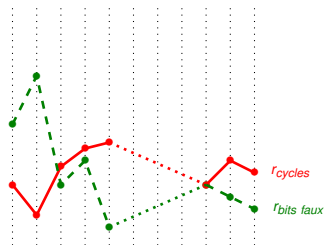
- r_{cycles} ratio de cycles entre AC et DD
- $r_{bits\ exacts}$ ratio de bits exacts entre AC et DD

Un bon compromis temps-précision

$$R^1 = \min_{s \in E} (\alpha \cdot r_{bits\ faux}(s) + \beta \cdot r_{cycles}(s))$$

- où $\alpha + \beta = 1$ et $r_{bits\ faux} = 1 - r_{bits\ exacts}$

$$R^2 = \max_{s \in E} | r_{bits\ exacts}(s) - r_{cycles}(s) |$$



$$E \in \left\{ \begin{array}{l} \text{stratégie 1} \\ \text{stratégie 2} \\ \text{stratégie 3} \\ \text{stratégie 4} \\ \text{stratégie 5} \\ \dots \\ \dots \\ \text{stratégie } n-2 \\ \text{stratégie } n-1 \\ \text{stratégie } n \end{array} \right\}$$

Des critères de sélection R^0, R^1, R^2

Objectifs

Un maximum de précision

$$R^0 = \min_{s \in \{\max_{s \in E} r_{bits\ exacts}(s)\}} r_{cycles}(s)$$

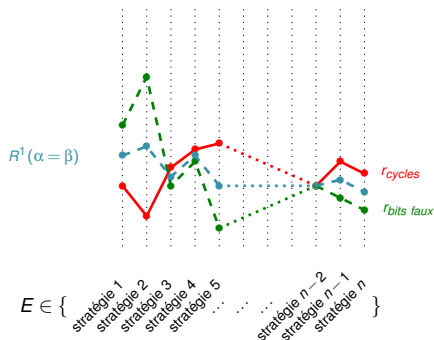
- r_{cycles} ratio de cycles entre AC et DD
- $r_{bits\ exacts}$ ratio de bits exacts entre AC et DD

Un bon compromis temps-précision

$$R^1 = \min_{s \in E} (\alpha \cdot r_{bits\ faux}(s) + \beta \cdot r_{cycles}(s))$$

- où $\alpha + \beta = 1$ et $r_{bits\ faux} = 1 - r_{bits\ exacts}$

$$R^2 = \max_{s \in E} | r_{bits\ exacts}(s) - r_{cycles}(s) |$$



Des critères de sélection R^0, R^1, R^2

Objectifs

Un maximum de précision

$$R^0 = \min_{s \in \{\max_{s \in E} r_{bits\ exacts}(s)\}} r_{cycles}(s)$$

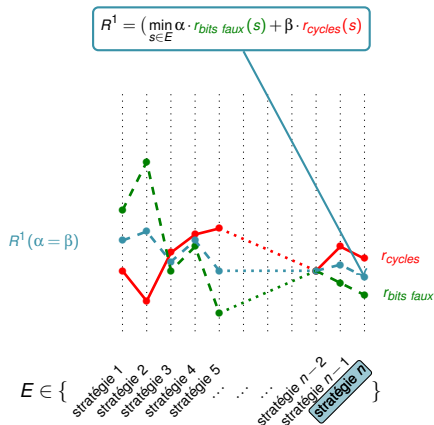
- r_{cycles} ratio de cycles entre AC et DD
- $r_{bits\ exacts}$ ratio de bits exacts entre AC et DD

Un bon compromis temps-précision

$$R^1 = \min_{s \in E} (\alpha \cdot r_{bits\ faux}(s) + \beta \cdot r_{cycles}(s))$$

- où $\alpha + \beta = 1$ et $r_{bits\ faux} = 1 - r_{bits\ exacts}$

$$R^2 = \max_{s \in E} | r_{bits\ exacts}(s) - r_{cycles}(s) |$$



Des critères de sélection R^0, R^1, R^2

Objectifs

Un maximum de précision

$$R^0 = \min_{s \in \{\max_{s \in E} r_{bits\ exacts}(s)\}} r_{cycles}(s)$$

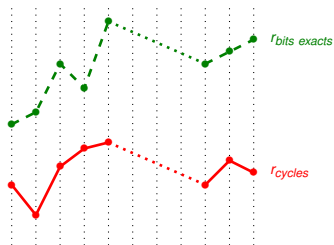
- r_{cycles} ratio de cycles entre AC et DD
- $r_{bits\ exacts}$ ratio de bits exacts entre AC et DD

Un bon compromis temps-précision

$$R^1 = \min_{s \in E} (\alpha \cdot r_{bits\ faux}(s) + \beta \cdot r_{cycles}(s))$$

- où $\alpha + \beta = 1$ et $r_{bits\ faux} = 1 - r_{bits\ exacts}$

$$R^2 = \max_{s \in E} |r_{bits\ exacts}(s) - r_{cycles}(s)|$$



$$E \in \left\{ \begin{array}{l} \text{stratégie 1} \\ \text{stratégie 2} \\ \text{stratégie 3} \\ \text{stratégie 4} \\ \text{stratégie 5} \\ \dots \\ \dots \\ \text{stratégie } n-2 \\ \text{stratégie } n-1 \\ \text{stratégie } n \end{array} \right\}$$

Des critères de sélection R^0, R^1, R^2

Objectifs

Un maximum de précision

$$R^0 = \min_{s \in \{\max_{s \in E} r_{bits\ exacts}(s)\}} r_{cycles}(s)$$

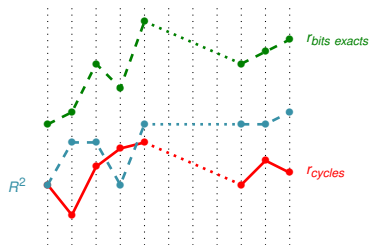
- r_{cycles} ratio de cycles entre AC et DD
- $r_{bits\ exacts}$ ratio de bits exacts entre AC et DD

Un bon compromis temps-précision

$$R^1 = \min_{s \in E} (\alpha \cdot r_{bits\ faux}(s) + \beta \cdot r_{cycles}(s))$$

- où $\alpha + \beta = 1$ et $r_{bits\ faux} = 1 - r_{bits\ exacts}$

$$R^2 = \max_{s \in E} |r_{bits\ exacts}(s) - r_{cycles}(s)|$$



$$E \in \left\{ \begin{array}{l} \text{stratégie 1} \\ \text{stratégie 2} \\ \text{stratégie 3} \\ \text{stratégie 4} \\ \text{stratégie 5} \\ \dots \\ \dots \\ \text{stratégie } n-2 \\ \text{stratégie } n-1 \\ \text{stratégie } n \end{array} \right\}$$

Des critères de sélection R^0, R^1, R^2

Objectifs

Un maximum de précision

$$R^0 = \min_{s \in \{\max_{s \in E} r_{bits\ exacts}(s)\}} r_{cycles}(s)$$

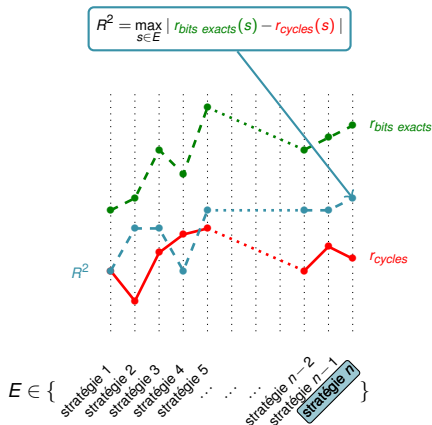
- r_{cycles} ratio de cycles entre AC et DD
- $r_{bits\ exacts}$ ratio de bits exacts entre AC et DD

Un bon compromis temps-précision

$$R^1 = \min_{s \in E} (\alpha \cdot r_{bits\ faux}(s) + \beta \cdot r_{cycles}(s))$$

- où $\alpha + \beta = 1$ et $r_{bits\ faux} = 1 - r_{bits\ exacts}$

$$R^2 = \max_{s \in E} |r_{bits\ exacts}(s) - r_{cycles}(s)|$$



Retour sur la démonstration : le programme HORNER

```

int main(int argc, char** argv)
{
    int n=16;
    double x=atof(argv[1]);

    double P[]={
        2.3730468750000000e-01,  -4.1923828125000000e+00,
        3.4672851562500000e+01,  -1.7819824218750000e+02,
        6.3700195312500000e+02,  -1.6794238281250000e+03,
        3.3780957031250000e+03,  -5.2882714843750000e+03,
        6.5115380859375000e+03,  -6.3275244140625000e+03,
        4.8364658203125000e+03,  -2.8772958984375000e+03,
        1.3061132812500000e+03,  -4.3734375000000000e+02,
        1.0187500000000000e+02,  -1.4750000000000000e+01,
        1.0000000000000000e+00};

    double r, res;
    int i;

    r = P[n];

    for(i=n-1; i>=0; i--) {
        r = r * x + P[i];
    }

    res = r;

    printf("%.16e %.16e\n",x,res) ;
    return (0);
}

```

Conditions

Polynôme $p_H(x) = (x - 0,75)^5(x - 1,0)^{11}$

Données 256 $x \in \{0,35 : 0,45\}$ (dist. uniforme)

temps $r_{cycles} = 0,05$

précision $r_{bits\ exacts} = 0,64$

Environnement Linux 3.2.0.51, Core i5 2.53GHz, gcc 4.6.3, -O2, papi 5.1.0.2

Retour sur la démonstration : le programme HORNER

```

int main(int argc, char** argv)
{
    int n=16;
    double x=atof(argv[1]);

    double P[]={
        2.3730468750000000e-01,  -4.1923828125000000e+00,
        3.4672851562500000e+01,  -1.7819824218750000e+02,
        6.3700195312500000e+02,  -1.6794238281250000e+03,
        3.3780957031250000e+03,  -5.2882714843750000e+03,
        6.5115380859375000e+03,  -6.3275244140625000e+03,
        4.8364658203125000e+03,  -2.8772958984375000e+03,
        1.3061132812500000e+03,  -4.3734375000000000e+02,
        1.0187500000000000e+02,  -1.4750000000000000e+01,
        1.0000000000000000e+00};

    double r, res;
    int i;

#pragma COHD time block
    {
        r = P[n];

#pragma COHD for decrease
        for(i=n-1; i>=0; i--) {
            r = r * x + P[i];
        }

        res = r;
    }

#pragma COHD accuracy res
    printf("%.16e %.16e\n",x,res) ;
    return (0);
}

```

Conditions

Polynôme $p_H(x) = (x - 0,75)^5(x - 1,0)^{11}$

Données 256 $x \in \{0,35 : 0,45\}$ (dist. uniforme)

temps $r_{cycles} = 0,05$

précision $r_{bits\ exacts} = 0,64$

Environnement Linux 3.2.0.51, Core i5 2.53GHz, gcc 4.6.3, -O2, papi 5.1.0.2

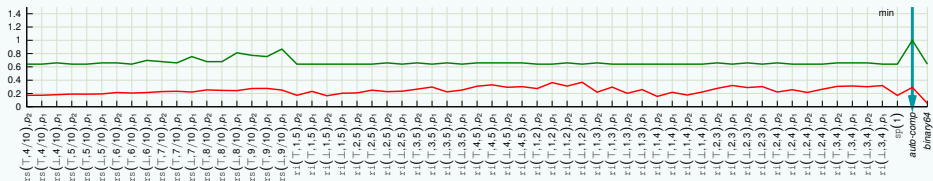
Préparation du code

Ajout de directives de pré-compilation

- #pragma COHD time block
- #pragma COHD accuracy res

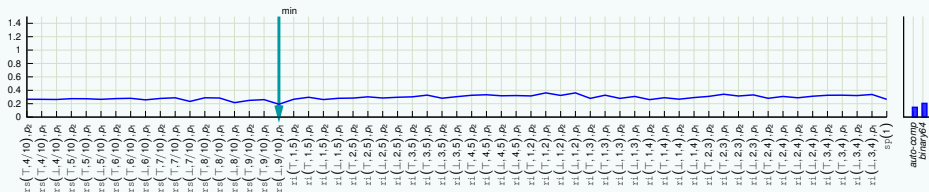
Résultats sur le programme HORNER

 $R^0 \rightarrow$ auto-comp

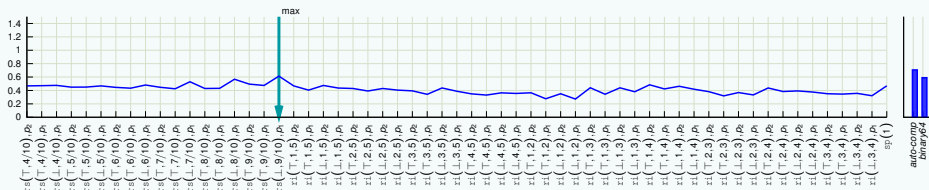
 r_{cycles} , $r_{bits\ exacts}$


Résultats sur le programme HORNER

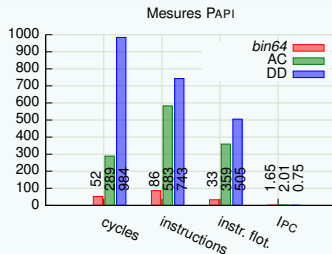
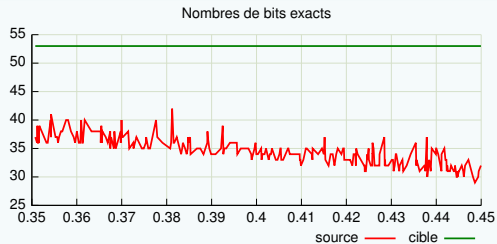
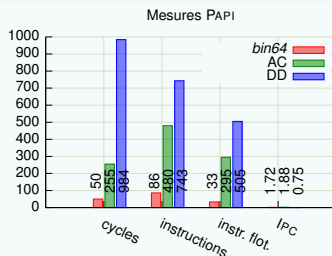
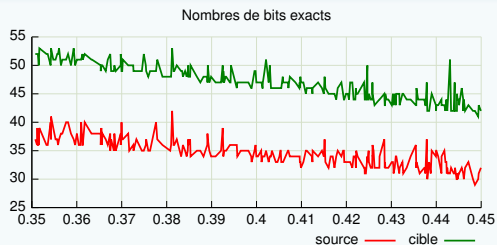
$$R^1 \rightarrow rs(\perp, 9/10), p_1$$



$$R^2 \rightarrow rs(\perp, 9/10), p_1$$



Résultats sur le programme HORNER

 R^0

 R^1/R^2


Résultats expérimentaux : synthèse

Algorithmes et données	Ratio de sélection			
	R^0	✓/✗	R^1/R^2	✓/✗
SUM(d_1)	<i>auto-comp</i>	✓	$\text{ri}(T, 10^3, 5 \cdot 10^3), p_2$	✗ [•]
SUM(d_2)	<i>auto-comp</i>	✓	$\text{ri}(T, 10^4, 5 \cdot 10^4), p_2$	✗ [•]
HORNER(p_H, d_4)	<i>auto-comp</i>	✓	$\text{rs}(T, 9/10), p_1$	✓
HORNER(p_H, d_5)	<i>auto-comp</i>	✓	$\text{rs}(T, 9/10), p_2$	✓
HORNERDER(p_H, d_4)	<i>auto-comp</i>	✓	$\text{sp}(1)$	✗ [†]
HORNERDER(p_H, d_5)	<i>auto-comp</i>	✓	$\text{rs}(T, 9/10), p_2$	✓
CLENSHAWI(p_C, d_4)	<i>auto-comp</i>	✓	$\text{rs}(\perp, 8/10), p_1$	✓
CLENSHAWI(p_C, d_6)	<i>auto-comp</i>	✓	$\text{rs}(T, 8/10), p_2$	✓
CLENSHAWII(p_C, d_4)	<i>auto-comp</i>	✓	$\text{rs}(\perp, 8/10), p_1$	✓
CLENSHAWII(p_C, d_6)	<i>auto-comp</i>	✓	$\text{rs}(T, 8/10), p_2$	✓
DECASTELJAU(p_D, d_8)	<i>auto-comp</i>	✓	$\text{rs}(\perp, 9/10), p_1$	✗ [°]
DECASTELJAU(p_D, d_9)	<i>auto-comp</i>	✓	$\text{rs}(\perp, 9/10), p_1$	✗ [°]
DECASTELJAUDER(p_D, d_8)	<i>auto-comp</i>	✓	$\text{rs}(\perp, 9/10), p_1$	✗ [°]
DECASTELJAUDER(p_D, d_9)	<i>auto-comp</i>	✓	$\text{rs}(\perp, 9/10), p_1$	✗ [°]

• Échec dû au manque de précision

° Échec dû au manque de performances

CLENSHAW : la stratégie $\text{rs}(T, 9/10)$ n'est pas retenue ici car trop proche du programme en AC

† Il existe une meilleure solution qui répond avec succès : la stratégie $\text{rs}(\perp, 7/10), p_1$

Plan de l'exposé

1. Notions d'arithmétique flottante et d'amélioration de la précision

- Arithmétique flottante IEEE 754
- Transformations sans erreur
- Arithmétique double-double et algorithmes compensés

2. Transformation automatique de programme

- Mise en place : l'outil CoHD
- Méthodologie : correction de la précision
- Les transformations de la somme et du produit
- Résultats expérimentaux avec comparaisons à l'existant

3. Synthèse de code pour des compromis entre précision et temps d'exécution

- Mise en place : l'outil SyHD
- Des stratégies de transformation de programme avec compromis
- Ensemble de programme et critères de sélection
- Résultats expérimentaux

4. Conclusions et perspectives

Contributions

Un nouveau moyen d'améliorer la précision

■ Via des transformations source-à-source :

complètes résultats équivalents à ceux de la bibliographie : *algorithmes compensés*

- doublement de la précision
- cas du raffinement itératif pour la résolution de système linéaires

partielles stratégies de transformation pour des compromis performance-précision

- génération fine de code selon des attentes d'utilisateurs

Contributions

Un nouveau moyen d'améliorer la précision

- Via des transformations source-à-source :

complètes résultats équivalents à ceux de la bibliographie : *algorithmes compensés*

- doublement de la précision
- cas du raffinement itératif pour la résolution de système linéaires

partielles stratégies de transformation pour des compromis performance-précision

- génération fine de code selon des attentes d'utilisateurs

Un processus d'optimisation automatique

- Assuré par une implémentation logicielle de la synthèse de code

- ▶ **CoHD** transformation de code C
- ▶ **SyHD** synthèse de code : objectifs d'optimisation, données, environnements

Contributions

Un nouveau moyen d'améliorer la précision

- Via des transformations source-à-source :
 - complètes résultats équivalents à ceux de la bibliographie : *algorithmes compensés*
 - doublement de la précision
 - cas du raffinement itératif pour la résolution de système linéaires
 - partielles stratégies de transformation pour des compromis performance-précision
 - génération fine de code selon des attentes d'utilisateurs

Un processus d'optimisation automatique

- Assuré par une implémentation logicielle de la synthèse de code
 - ▶ **CoHD** transformation de code C
 - ▶ **SyHD** synthèse de code : objectifs d'optimisation, données, environnements

Publications

- SCAN12 : *Automatic Code Transformation to Optimize Accuracy and Speed in Floating-Point Arithmetic* [LMT12]
- SCAN10 : *Trade-off Between Accuracy and Time for Automatically Generated Summation Algorithms* [LMT10a]
- PASCO10 : *Accuracy Versus Time : A Case Study with Summation Algorithms* [LMT10b]

Perspectives

Compléter les contributions existantes

- Vers le support :
 - ▶ d'un ensemble plus large d'opérations : \div , $\sqrt{\quad}$
 - ▶ complet du C (*boucle `while`, récursivité*), ou autre langage
- Vers de nouvelles stratégies de transformation de programme : *compléter `sp`*
- Vers l'intégration de nouveaux critères d'optimisation : *taille du code, consommation*
- Vers plus d'automatisme : *gestion dynamique des stratégies de transformation*
- Vers une amélioration automatique de la précision non bornée : SUMK, HORNERK
- Vers une application partielle des expansions
- Ouverture vers d'autres domaines : *temps réel, arithmétique fixe*

Perspectives

Compléter les contributions existantes

- Vers le support :
 - ▶ d'un ensemble plus large d'opérations : \div , $\sqrt{\quad}$
 - ▶ complet du C (*boucle `while`, récursivité*), ou autre langage
- Vers de nouvelles stratégies de transformation de programme : *compléter `sp`*
- Vers l'intégration de nouveaux critères d'optimisation : *taille du code, consommation*
- Vers plus d'automatisme : *gestion dynamique des stratégies de transformation*
- Vers une amélioration automatique de la précision non bornée : SUMK, HORNERK
- Vers une application partielle des expansions
- Ouverture vers d'autres domaines : *temps réel, arithmétique fixe*

Valorisations

- Publication des résultats des derniers chapitres de la thèse
- Mise en application : post-doc NUMALIS

M
E
R
C
I

- [Dek71] T.J. Dekker
A Floating-Point Technique for Extending the Available Precision, 1971
- [GLL09] S. Graillat, P. Langlois, N. Louvet
Algorithms for Accurate, Validated and Fast Polynomial Evaluation, 2009
- [HBL01] Y. Hida, X.S. Li, D.H. Bailey.
Algorithms for Quad-Double Precision Floating Point Arithmetic, 2001
- [IEEE754] IEEE Standard for Floating-Point Arithmetic
Microprocessor Standards Committee of the IEEE
Computer Society, 3 Park Avenue, New York, NY
10016-5997, USA, 2008
- [lou13] A. Ioualalen
Transformation de programmes synchrones pour l'optimisation de la précision numérique, 2013
- [JBL11] H. Jiang, R. Barrio, H. Li, X. Liao, L. Cheng, F. Su
Accurate Evaluation of a Polynomial in Chebyshev Form, 2011
- [JGH13] H. Jiang, S. Graillat, C. Hu, S. Li, X. Liao, L. Chang, F. Su
Accurate Evaluation of the k-th Derivative of a Polynomial and its Application, 2013
- [JLCS10] H. Jiang, S. Li, L. Cheng, F. Su
Accurate Evaluation of a Polynomial and its Derivative in Bernstein Form, 2010
- [Lou07] N. Louvet.
Algorithmes compensés en arithmétique flottante : Précision, validation, performances, 2007
- [LL07] P. Langlois, N. Louvet.
More Instruction Level Parallelism Explains the Actual Efficiency of Compensated Algorithms, 2007
- [LMT10a] P. Langlois, M. Martel, L. Thévenoux
Trade-off Between Accuracy and Time for Automatically Generated Summation Algorithms
- [LMT10b] P. Langlois, M. Martel, L. Thévenoux
Accuracy Versus Time : A Case Study with Summation Algorithms
- [LMT12] P. Langlois, M. Martel, L. Thévenoux
Automatic Code Transformation to Optimize Accuracy and Speed in Floating-Point Arithmetic, 2012
- [MBdD10] J.M. Muller, N. Brisebarre, F. de Dinechin, C.P. Jeannerod, V. Lefèvre, G. Melquiond, N. Revol, D. Stehlé, S. Torres.
Handbook of Floating-Point Arithmetic, 2010
- [MPFR] L. Fousse, G. Hanrot, V. Lefèvre, P. Pélissier, C. Zimmermann
MPFR : A Multiple-Precision Binary Floating-Point Library with Correct Rounding
- [ROO05] S.M. Rump, T. Ogita, S.Oishi.
Accurate Sum and Dot Product, 2005
- [She97] J.R. Shewchuk
Adaptive Precision Floating-Point Arithmetic and Fast Robust Geometric Predicates, 1997